

"Trentino Sviluppo S.p.A." via F.Zeni, 8 Rovereto (TN) - p.iva 001223240228

Provincia Autonoma di Trento

Servizio Industria, Artigianato, Commercio e Cooperazione Ufficio Industria - Aree produttive



COMUNE DI MORI

PIANO ATTUATIVO DELL'AREA PER IMPIANTI PRODUTTIVI DEL SETTORE SECONDARIO DI LIVELLO PROVINCIALE DI PROGETTO IN C.C. DI MORI LOCALITA' " CASOTTE "



RELAZIONE GEOLOGICO-GEOTECNICA

				SCALA:	TAVOLA:
					\mathbf{O}
04 - 2018.10.26	Aggiornamen	to			1172
00 - 2017.09.22	EMISSIONE				
REDATTO:		VERIFICATO:	VALIDATO:		0

REDATTO DA: ing. Andrea Eccher



via Pasqui, 34 - I - 38068 Rovereto (TN) tel. 0464/490545 - info@artecno.it

ORDINE DEGLI INGEGNERI
DELLA PROV. DI TRENTO

dott.ing. ANDREA ECCHER
ISCRIZIONE ALBO N° 1246

TRENTINO SVILUPPO S.p.A.:

GEOLOGIA APPLICATA Studio Associato

Dott. Lorenzo Cadrobbi

Dott. Michele Nobile

Dott. Stefano Paternoster

Dott. Claudio Valle

COMUNE DI MORI

PIANO ATTUATTIVO DELL'AREA PER IMPIANTI
PRODUTTIVI DEL SETTORE SECONDARIO DI LIVELLO
PROVINCIALE DI PROGETTO IN
C.C. DI MORI LOCALITA' "CASOTTE"

RELAZIONE GEOLOGICA SISMICA E DI CARATTERIZZAZIONE GEOTECNICA

Committente:

TRENTINO SVILUPPO S.P.A.

Rel. 3810/1/18



"Trentino Sviluppo S.p.A." via F.Zeni, 8 Rovereto (TN) - p.iva 001223240228



COMUNE DI MORI

PIANO ATTUATIVO DELL'AREA PER IMPIANTI PRODUTTIVI DEL SETTORE SECONDARIO DI LIVELLO PROVINCIALE DI PROGETTO IN C.C. DI MORI LOCALITA' "CASOTTE"

RELAZIONE GEOLOGICA SISMICA E DI CARATTERIZZAZIONE GEOTECNICA

IL GEOLOGO



COMMITTENTE: Trentino Sviluppo S.p.A. Rel. 3810/1/18

SP/maggio 2018

"Questo documento non potrà essere copiato, riprodotto o pubblicato in tutto o in parte senza il consenso scritto dello Studio "GEOLOGIA APPLICATA" (legge 22 aprile 1941 nr. 633, art. 2575 e segg. c.c.)

SOMMARIO

1.	PREMESSA	3
2.	PRINCIPALI STUDI E DOCUMENTI CONSULTATI	5
3.	GEOLOGIA E GEOMORFOLOGIA	7
3.1	FORME E DEPOSITI	7
3.2	PROCESSI GEOMORFOLOGICI E STABILITA' DELL'AREA	8
3.3	SUBSIDENZA	9
4.	ASSETTO IDROLOGICO ED DROGEOLOGICO	10
5.	VINCOLI DI CARATTERE GEOLOGICO IDROGEOLOGICO E SISMICO	11
5.1	PIANO GENERALE DI UTILIZZAZIONE DELLE ACQUE PUBBLICHE (P.G.U.A.P.)	11
5.2	CARTA DI SINTESI GEOLOGICA (P.U.P.).	12
5.3	VINCOLI SULLE RISORSE IDRICHE	13
5.4	VINCOLI DELLA NUOVA CARTA DI SINTESI DELLA PERICOLOSITA'	14
6.	INDAGINI GEOLOGICHE E GEOTECNICHE DISPONIBILI	15
7.	CARATTERIZZAZIONE AMBIENTALE DELLE TERRE	17
8.	MODELLO GEOLOGICO DI RIFERIMENTO	18
8.1	ASSETTO LITOSTRATIGRAFICO LOCALE	18
8.2	ASSETTO IDROGEOLOGICO LOCALE	19
9.	MODELLAZIONE SISMICA LOCALE	20
9.1	INQUADRAMENTO SISMO TETTONICO DELL'AREA	20
9.2	SISMICITA' DELL'AREA	22
9.3	PERICOLOSITA' SISMICA DELL'AREA E RISPOSTA SISMICA LOCALE	
9.3.1	PREMESSE - PERICOLOSITA' SISMICA	
9.3.2	EFFETTI STRATIGRAFICI E TOPOGRAFICI E PARAMETRI DI SITO	
10.	MODELLO GEOTECNICO DI RIFERIMENTO	28
11.	CONSIDERAZIONI GEOLOGICHE E GEOTECNICHE CONCLUSIVE	30

Normativa Tecnica di Riferimento

Il presente elaborato è redatto con riferimento alla seguente normativa tecnica di settore:

- D.M. 17 gennaio 2018 "Norme tecniche per le costruzioni".
- CIRCOLARE 2 FEBBRAIO 2009, N° 617 Istruzioni per l'applicazione delle "Nuove norme tecniche per le costruzioni" di cui al D.M. 14. 01. 2008
- UNI ENV 1997-1 Eurocodice 7 "Progettazione Geotecnica".
- A.G.I. 1977 Raccomandazioni sulla programmazione ed esecuzione delle indagini geotecniche.
- D.Lgs. 152/06 e s. m. e i. "Testo unico ambientale"

1. PREMESSA

Su incarico di TRENTINO SVILUPPO Sp.A. viene di seguito redatta la relazione geologica, sismica e di caratterizzazione geotecnica a supporto del "Piano attuativo dell'area per impianti produttivi del settore secondario di livello provinciale di progetto" in loc. *Casotte* nel comune di Mori. (figura 1).

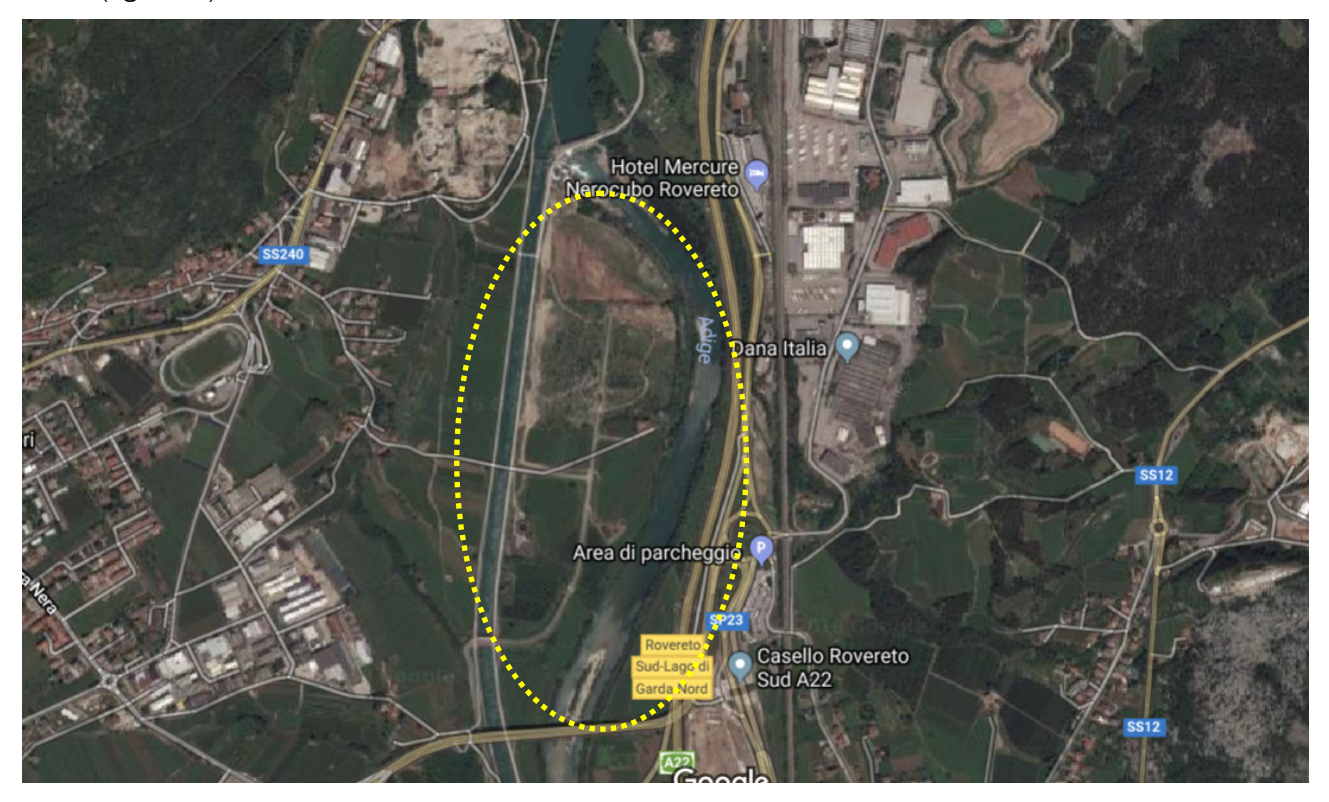


Figura 1. Ubicazione dell'area di studio (estratto mappa da satellite)

L'area d'interesse ha estensione di oltre 260.000 m²., si trova immediatamente a valle dello sbarramento ENEL di Mori in *loc. Tre Pini* ed è delimitata a ovest dal canale idroelettrico Mori-Ala, a nord ed est dal Fiume Adige per chiudersi a sud verso la strada d'argine del canale derivatore. La morfologia del terreno, esclusa la porzione da bonificare (figura 2) è, pur con ovvie irregolarità, suddivisibile in due parti. La parte nord, ricaricata con materiale di riporto e la parte sud, mantenuta in condizioni più o meno originarie, depressa di c.a. 2,50 m rispetto alla precedente.

All'interno del Piano si distinguono i seguenti ambiti (figura 2):

Ambito A: per una superficie di 215.253,00 mq effettivamente destinata ai nuovi insediamenti produttivi ed oggetto di infrastrutturazione.

Ambito B: per una superficie di 44.872,00 mq posta a nord e soggetta a bonifica ambientale secondo progetto operativo di cui alla deliberazione della Giunta provinciale n. 2044/27.9.2013, per la quale non è possibile prevedere un immediato utilizzo a fini edificatori.

di

del

valle

stessa

Rovereto

dalla

in

con

canale

della

per

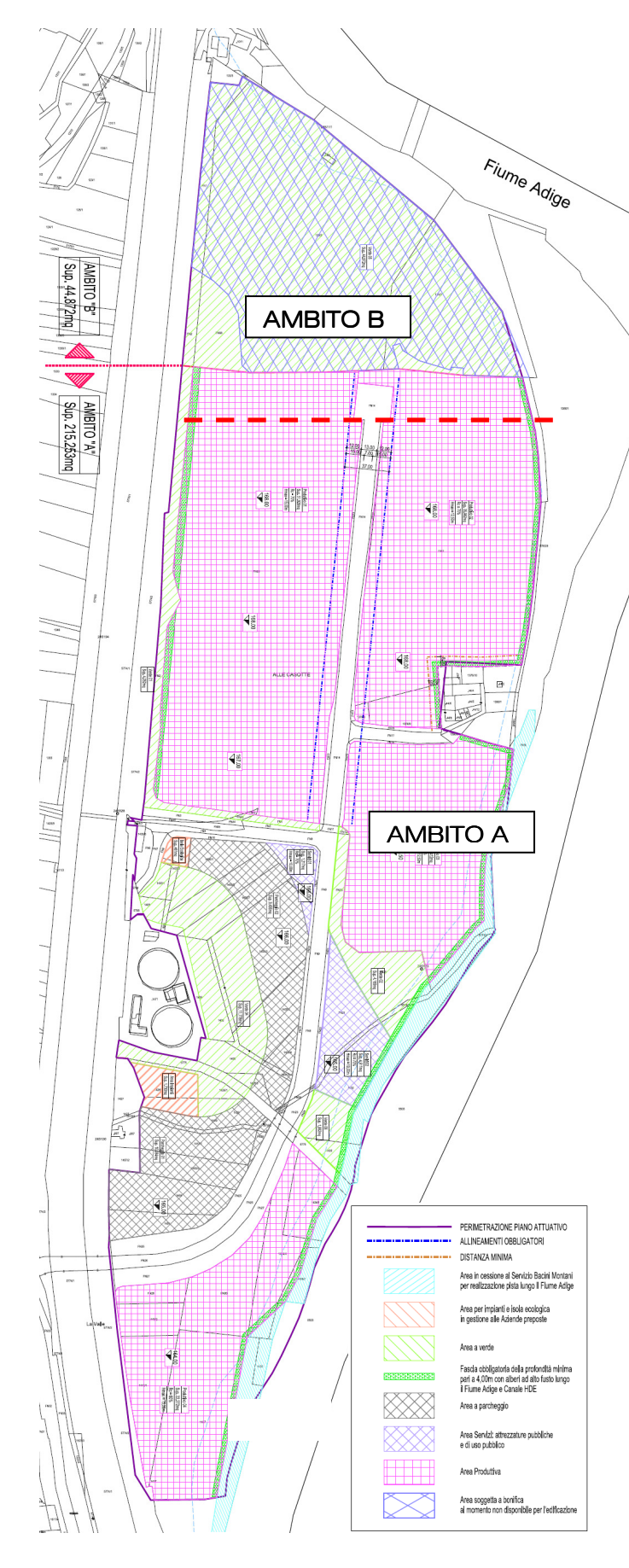
Mori

svincolo

а

all'area produttiva "Casotte".

Le opere di infrastrutturazione primaria sono già state realizzate e comprendono:



direzione l'attraversamento derivatore circonvallazione giungere da sud in affaccio

circonvallazione

Ю

- la viabilità interna in direzione sud-nord con lunghezza pari a circa 800 metri. Le quote fisse di case coloniche e depuratore non giustificavano, esclusi improponibili avvallamenti, continuazione verso sud rilevato realizzato da PAT nella parte nord. La livelletta stradale assume quindi leggera pendenza positiva verso nord oltre al raccordo di transizione fra i due diversi piani. I lavori realizzati comprendono il tronco principale due bretelle ortogonali al primo per garantire adeguato accesso a case coloniche e collegamento, in caso di necessità, con la strada arginale di proprietà HDE e il ponte strallato sul canale in prossimità del depuratore.
- contestualmente alla realizzazione rilevato del stradale sono stati allocati i sottoservizi compresa la rete smaltimento acque nere con

Destinazione Aree piano attuativo Figura 2.



tubazioni in ghisa sferoidale Ø 250 mm, recapito in stazione premente e conferimento al depuratore mediante tubazione in PEAD Ø 110 mm e la <u>rete smaltimento acque bianche</u> con tubazioni in c.l.s. rotocompresso, diametri da 200 mm e 600 mm con consegna in *Rio Cameras* e quindi recapito in Adige.

Il piano attuativo prevede *Arre produttive*, *Aree Servizi*, *Aree parcheggio ed Aree a verde* con relativi parametri urbanistici da rispettare, secondo le indicazioni di progetto a cui si rimanda.

Gli studi geologici e la caratterizzazione geotecnica di fattibilità su grandi aree (paragrafo 6.12.1 NTC 2018) come il presente piano attuativo, devono essere estesi a tutta la zona di possibile influenza degli interventi previsti, al fine di accertare che la destinazione d'uso sia compatibile con il territorio in esame. In particolare, le indagini e gli studi devono caratterizzare la zona di interesse in termini di vulnerabilità ambientale, per processi geodinamici interni (sismicità ecc..) ed esterni (stabilità dei pendii, erosione, subsidenza,...) e devono consentire di individuare gli eventuali limiti imposti al progetto di insiemi di manufatti e interventi (ad esempio: modifiche del regime delle acque superficiali e sotterranee ecc...).

I singoli progetti di completamento delle diverse aree produttive e di servizio dovranno successivamente prevedere quindi specifiche indagini puntuali di caratterizzazione stratigrafica e geotecnica e le relative relazioni specialistiche geologica e geotecnica in ottemperanza alle NTC 2018.

2. PRINCIPALI STUDI E DOCUMENTI CONSULTATI

[1] Studio di Geologia L. Berti (2005) – indagine geoambientale per la caratterizzazione dell'area "alle Casotte" – Mori (TN) - Relazione geologica-idrogeologica e indagini svolte.

[2] Geologia Applicata Studio Associato Cadrobbi, Nobile Paternoster, Valle - S. Paternoster (2008) - Collegamento area impianti produttivi di Mori in loc. Casotte con la circonvallazione di Mori (TN) - Relazione geologica e geotecnica. Committente Servizio Industria P.A.T. - Ufficio Aree Industriali.

[3] Studio di Geologia L. Berti (2010) "Risultati del piano di indagini del piano di caratterizzazione ai sensi della parte IV titolo V del D Lgs 152/2006 del sito industriale "Area Casotte" di Mori (TN) - indagini integrative 2009" – febbraio 2010.

- [4] Studio di Geologia L. Berti (2010) "- Collegamento area impianti produttivi di Mori in loc. Casotte con la circonvallazione di Mori Piano di gestione delle terre e rocce da scavo (art. 186 D.Lgs. 152/06, D.Lgs. 4/08, L. n.13/2009, D.G.P. 1227/2009)
- [5] Geologia Applicata Studio Associato Cadrobbi, Nobile Paternoster, Valle S. Paternoster (2012) Progetto di spostamento della linea elettrica primaria r.f.i. 132 kV Bressanone-Verona in loc. Casotte nel comune di Mori (TN) Relaz. geologica e Relazione geotecnica. Committente Trentino Sviluppo S.p.A.
- [6] Geologia Applicata Studio Associato Cadrobbi, Nobile Paternoster, Valle S. Paternoster (2013) Collegamento area impianti produttivi in loc. Casotte con la circonvallazione di Mori. Rinvenimento di rifiuti in corrispondenza delle progr. 86-91 Ripristino dello stato dei luoghi secondo art. 90 del TULP Relazione conclusiva. Committente Trentino Sviluppo S.p.A.
- [7] Ing. M. Tovazzi (2013) "Aggiornamento e integrazioni analisi di rischio ex d.lgs. 152/06 e s.m.i: Area Casotte Mori (TN)" e Valutazione del rischio in merito alla realizzazione di una pista ciclabile lungo l'argine destro del fiume Adige". Committente Trentino Sviluppo S.p.A.
- [8] Studio di Geologia P. Passardi (2014) Progetto per lo spostamento e l'interramento delle linee elettriche lvr022 in loc. Casotte nel territorio comunale di Mori e Rovereto Relazione geologica e geotecnica. Committente Trentino Sviluppo S.p.A.
- [9] R.C.P. Società di Ingegneria. Ing. Ruggero Andreatta (2016). Piano delle indagini sui terreni dell'area "Casotte" nel comune di Mori a sud della zone oggetto di bonifica. Relazione tecnico illustrativa e Tavole. Committente Trentino Sviluppo S.p.A.
- [10] Rovida A., Locati M., Camassi R., Lolli B., Gasperini P. (eds), 2016. CPTI15, the 2015 version of the Parametric Catalogue of Italian Earthquakes. Istituto Nazionale di Geofisica e Vulcanologia. doi:http://doi.org/10.6092/INGV.IT-CPTI15
- [11] Servizio Geologico PAT. Catasto dei sondaggi .
- [12] Geotechnical Service S.n.c./Studio Associato Geologia Applicata. L. Cadrobbi (1991). Indagine e studi idrogeologici per la caratterizzazione idrodinamica ed idrochimica della falda acquifera, con prove di pompaggio in località "Casotte a Mori". Committente Tecnofin Strutture.



3. GEOLOGIA E GEOMORFOLOGIA

3.1 FORME E DEPOSITI

Questo settore della Valle dell'Adige risulta, dal punto di vista genetico, strettamente legato al contesto strutturale e tettonico esistente. La presenza di una serie di faglie subparallele di direzione giudicariense (NNE-SSO), hanno infatti predisposto l'impostarsi locale del solco vallivo tra Rovereto e Mori, ed il suo successivo approfondimento (figura 3).

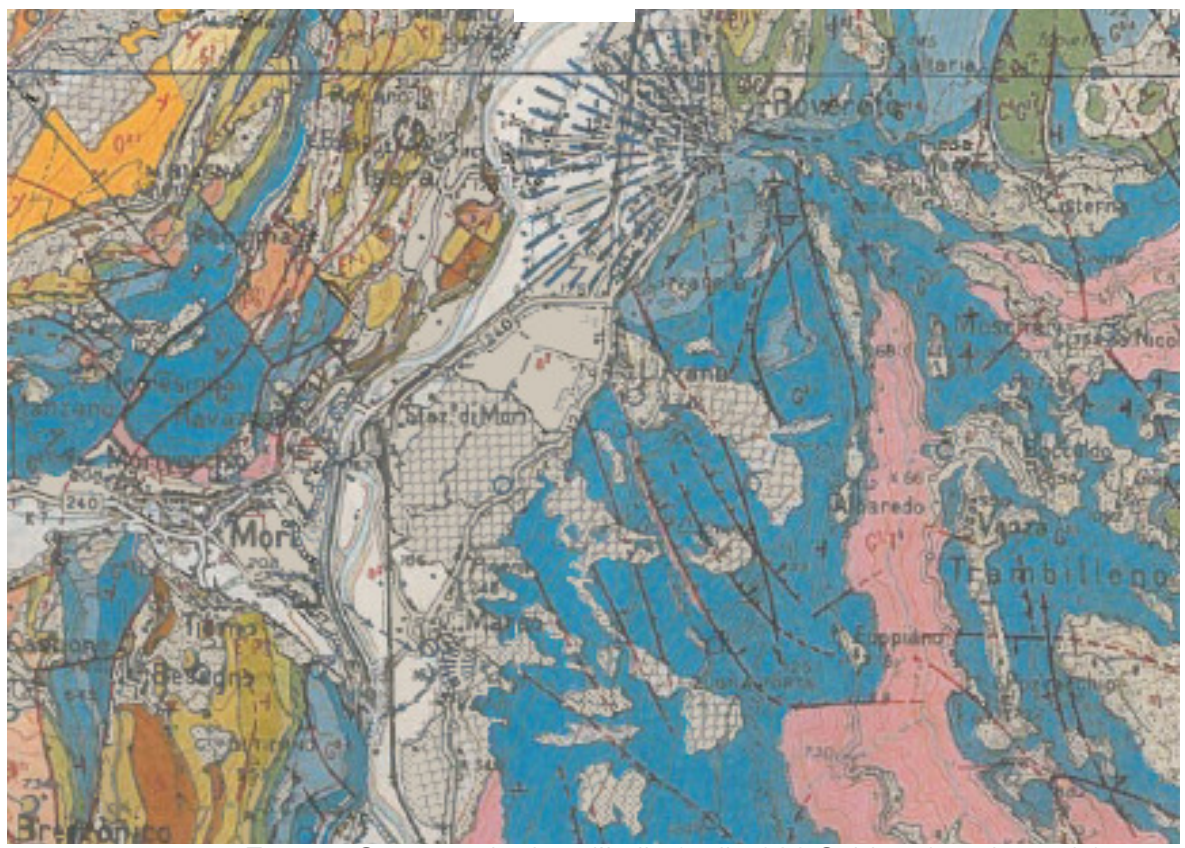


Figura 3. Estratto Carta geologica d'Italia foglio 036 Schio - (non in scala)

I processi che più incisivamente hanno operato sull'aspetto morfologico attuale della valle nel suo complesso sono riconducibili all'azione di modellamento e di esarazione prodotta dai ghiacciai pleistocenici e testimoniata dalla forma dell'ampia sezione valliva, da alcuni imponenti fenomeni gravitativi post-glaciali (*frana* dei *Lavini di Marco* che, in più fasi, ha spostato il corso dell'Adige verso il lato occidentale della valle), dall'azione progressiva di sovralluvionamento del solco vallivo operata dall'Adige e dai principali affluenti dopo il ritiro glaciale e da fasi di terrazzamento, anche geologicamente piuttosto recenti.

In particolare va osservato che durante gran parte del Pleistocene l'Adige percorreva la media e la bassa Val Lagarina sino a raggiungere il golfo del Garda, lambendo le pendici collinari di

Rubiana di Caprino Veronese. Si fa risalire all'interglaciale *Riss-Würm* o all'inizio della glaciazione würmiana la deviazione d'alveo entro i calcari della *Chiusa di Ceraino*, a causa degli ostacoli degli anfiteatri morenici di Rivoli e del Garda, in direzione Verona.

La modesta incisione iniziale della Chiusa di Ceraino e lo sbarramento dell'anfiteatro morenico würmiano di Rivoli consentirono, nell'articolata fase di ritiro glaciale würmiana, la formazione di una serie di bacini lacustri, come dimostra il frequente rinvenimento in profondità di sabbie finissime, tipiche di ambienti di decantazione delle acque (delta conoidi distali) e di limi e limi argillosi lacustri. Anche i sondaggi eseguiti nell'area in occasione dei lavori [2] e [11] (citatati al cap. 2) hanno individuato, in un caso [2 – zona del nuovo ponte di accesso all'area sul canale Mori Ala], al di sotto dei 15.0 m dal p.c., la presenza di un relitto di un corpo fluvio-glaciale di contatto sepolto sotto le alluvioni più recenti e costituito da alternanze ritmiche di limi debolmente sabbiosi e sabbie medio fini limose mediamente sovra consolidate e in un altro caso [11 – settore nord area Casotte], al di sotto dei 25.0÷30.0 m dal p.c., una successione fluvio-lacustre tardo glaciale con prevalenza di limi sabbiosi e limi argillosi debolmente sovra consolidati.

La progressiva incisione del meandro incastrato dell'Adige alla Chiusa di Ceraino, facilitata in parte, intorno al 1600, con cariche esplosive allo scopo di bonificare la parte più bassa della valle, permise alle acque dell'Adige di incidere dai 15 ai 20 m i depositi della fase alluvionale olocenica (in prevalenza sabbie e ghiaie), dando luogo, tra l'altro, ai terrazzamenti e le incisione che caratterizzano l'area di Mori-Tierno in direzione dell'Adige.

La serie stratigrafica più recente, del terrazzo alluvionale inferiore su cui si sviluppa l'area delle Casotte (ultimi 15÷25 metri di alluvioni) presenta quindi granulometrie ghiaioso sabbiose e sabbioso ghiaiose prevalenti, che passano superiormente gli ultimi metri a sabbie limose e limi sabbiosi di esondazione.

3.2 PROCESSI GEOMORFOLOGICI E STABILITA' DELL'AREA

Nell'attuale configurazione geomorfologica per il sito in oggetto non si osservano significativi processi morfogenetici in atto. La superficie topografica naturale è piuttosto regolare e digrada verso sud con pendenze ridottissime, mostrando le tracce delle attività antropiche che hanno portato a riempimenti e rimaneggiamenti diversi, che si sono sviluppati per lo più nella porzione settentrionale del sito, e che localmente hanno determinato problematiche di compromissione ambientale (Ambito B), ma che risultano geomorfologicamente stabili. L'area nel suo complesso può essere quindi considerata geomorfologicamente stabile, in assenza ed in presenza delle opere previste dal piano attuativo.

3.3 SUBSIDENZA

L'area non rientra tra i siti interessati da problematiche di subsidenza legate alla presenza, nella successione stratigrafica recente, di sequenze più o meno potenti di materiale organico sottoconsolidato. In ogni caso si sono consultate le serie di dati interferometrici da satellite, pubblicati e visualizzabili sul geoportale nazionale del Ministero dell'Ambiente (http://www.pcn.minambiente.it/viewerMobile/), dei quali un estratto è riportato in figura 4.



Figura 4. Abbassamenti al suolo di punti "riflettori" nell'area di studio - Dati satellitari ERS

L'analisi dei dati evidenzia come l'areale delle "Casotte" risulti stabile, non soggetta a fenomeni di subsidenza.

4. ASSETTO IDROLOGICO ED DROGEOLOGICO

A nord dell'area "Casotte", dlimitata ad est dal corso del *F. Adige* ed a ovest dal corso rettilineo del canale artificiale Mori Ala, si trova la chiusa sull'Adige di derivazione del canale stesso. L'area di terrazzo delle Casotte risulta naturalmente sopraelevata (mediamente 6.0-7.0 m) rispetto al corso del Fiume in zona non esondabile.

Il canale artificiale Mori Ala risulta avere arginature in materiale calcareo granulometricamente selezionato con rivestimento interno in calcestruzzo ed in ragione della sua importanza essere oggetto di controlli e manutenzioni programmate da parte del gestore.

La zona delle Casotte a sud risulta infine attraversata dall'idrografia del Rio Cameras, affluente di destra dell'Adige, completamente regimato in alveo artificiale per il quale non si hanno informazioni relative al dimensionato idraulico.

L'assetto idrogeologico dell'area d'indagine è caratterizzato dalla presenza di un primo acquifero localizzato entro i depositi ghiaioso sabbiosi del corpo alluvionale terrazzato dell'Adige (Unità Agh), contenente una falda a superficie libera costituente un sistema globale con il F. Adige, il cui livello è peraltro giornalmente regimato dalla chiusa di Mori. La direzione di flusso è in prima approssimazione concorde con quella valliva con un gradiente medio di filtrazione dell'ordine dell'1.0÷1.5 ‰. Per il settore in oggetto, nei precedenti studi geologici eseguiti nell'area [1-2-12], il livello piezometrico viene posto, per cicli annuali normali, oscillante tra le quote 158.0÷161.0 m slm per la zona sud, e 1.0 m circa più in alto per la zona al limite nord. Il livello di base dell'acquifero superiore è localmente posto tra i -15.0÷28.0 m dal p.c. e corrisponde cin il tetto delle Unità A2I.

Indagini profonde [12] hanno evidenziato la presenza nel settore nord dell'area di un secondo acquifero con tetto posizionato al di sotto dei 50÷55 m dal p.c.

5. VINCOLI DI CARATTERE GEOLOGICO IDROGEOLOGICO E SISMICO

Considerando la cartografia che individua e caratterizza sul territorio il rischio idrogeologico vengono riportati gli estratti cartografici del PGUAP e della CARTA DI SINTESI GEOLOGICA e DELLE RISORSE IDRICHE. Al riguardo e con riferimento alle figure 5, 6 e 7, si osserva quanto segue.

5.1 PIANO GENERALE DI UTILIZZAZIONE DELLE ACQUE PUBBLICHE (P.G.U.A.P.)

Il Piano Generale è approvato ai sensi e per gli effetti dell'articolo 14 del *Decreto del Presidente della Repubblica 31 agosto 1972, n. 670 (Approvazione del testo unico delle leggi costituzionali concernenti lo statuto speciale per il Trentino-Alto Adige*) e degli *articoli 5 e 8 del Decreto del Presidente della Repubblica 22 marzo 1974, n. 381 (Norme di attuazione dello*

Moderato (R1) Elevato (R3) Molto elevato (R4)

statuto speciale per la Regione Trentino-Alto Adige in materia di urbanistica e opere pubbliche), come da ultimo modificato dal decreto legislativo 11 novembre 1999, n. 463.

Costituiscono aree а idrogeologico le porzioni di territorio nelle quali sono presenti persone e/o beni esposti agli effetti dannosi o distruttivi di esondazioni, valanghe. Le aree a rischio sono suddivise in quattro classi di gravosità crescente (R1, R2, R3 ed R4) in funzione del livello di pericolosità dell'evento, della possibilità di perdita di vite umane e del valore dei beni presenti. La scala dei valori relativi del rischio è stata suddivisa in cinque classi secondo quanto previsto dal DPCM 29.09.98 (R1, R2, R3 e R4).

Come si può osservare dalla carta del rischio idrogeologico di figura 5, nel più recente aggiornamento entrato in vigore, l'area delle "*Casotte*" è inserita come area non soggetta ad alcun rischio, per cui secondo quanto

Figura 5 – Estratto Carta del rischio idrogeologico del P.G.U.A.P.



indicato dal PGUAP Capo IV Art. 18, la definizione degli interventi ammissibili è demandata al P.U.P. ed al P.R.G del comune di Mori.

5.2 CARTA DI SINTESI GEOLOGICA (P.U.P.)

La "Carta di Sintesi Geologica ai fini urbanistici ed edificatori" costituisce parte integrante

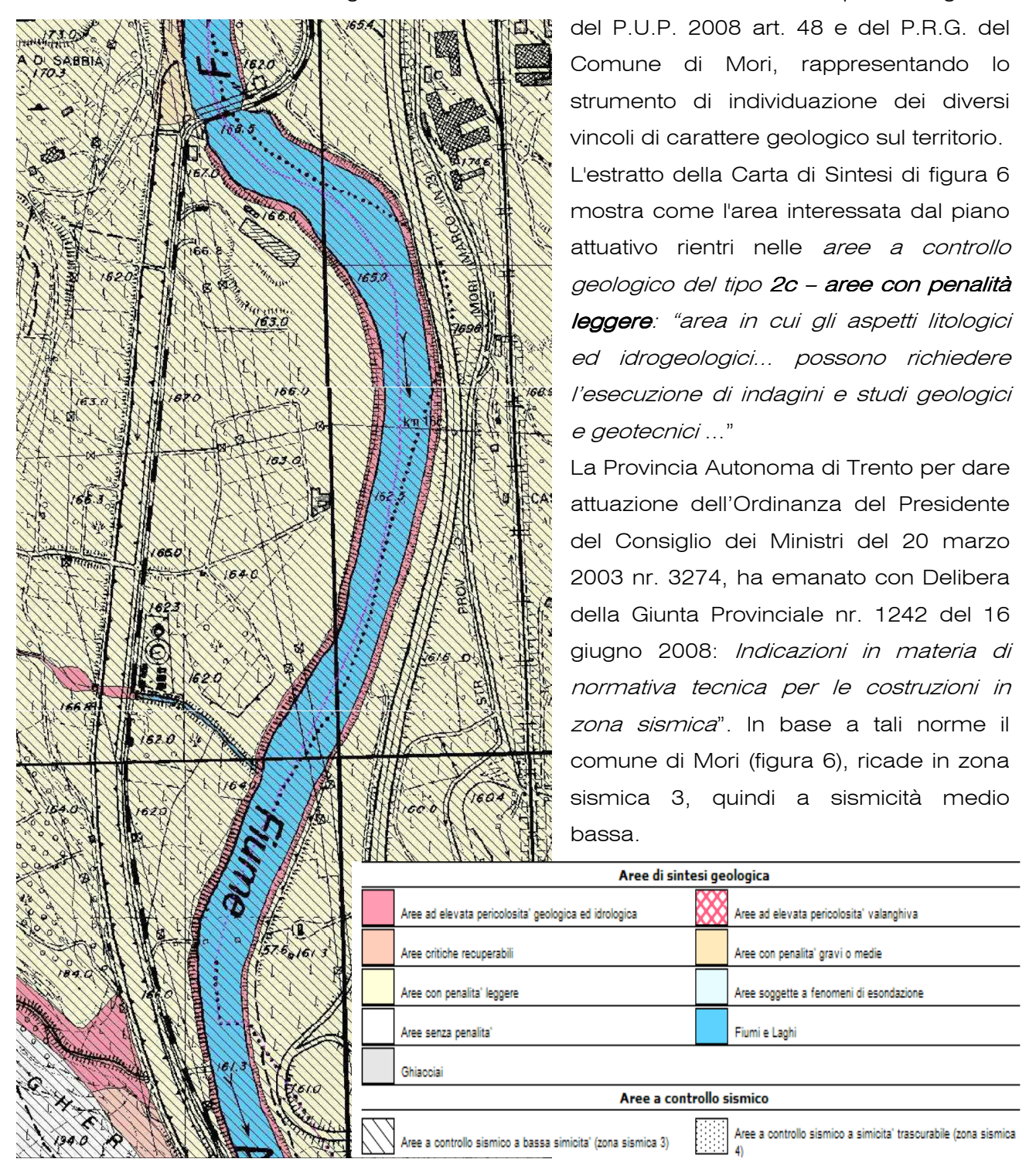


Figura 6 - Estratto della Carta di Sintesi Geologica.

5.3 VINCOLI SULLE RISORSE IDRICHE

In attuazione dell'art. 21 delle norme di attuazione del Piano Urbanistico Provinciale, approvato con legge provinciale 27 maggio 2008, n. 5, è stata redatta la "Carta delle risorse idriche" ricadenti nel territorio provinciale, riportando le sorgenti, i pozzi e le captazioni superficiali delle acque selezionate destinate al consumo umano.

La Carta indica anche le aree di salvaguardia, distinte in zone di tutela assoluta, zone di rispetto idrogeologico e zone di protezione, individuate secondo i principi per la tutela della qualità delle acque definiti dall'art. 94 del d.lgs. n. 152/2006 e dall'Accordo 12 dicembre 2002 della Conferenza permanente tra lo Stato, le Regioni e le Province Autonome.

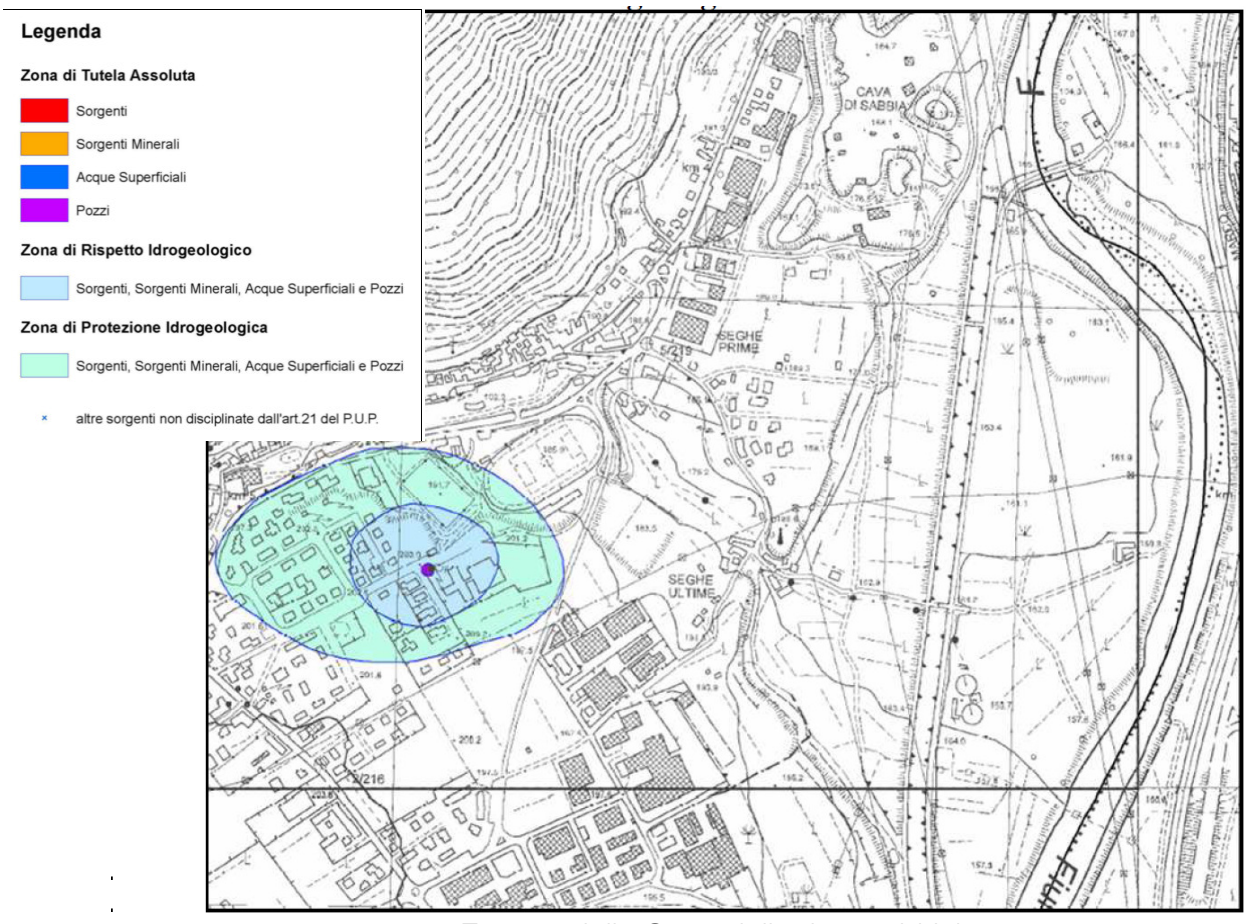


Figura 7. Estratto della Carta delle risorse idriche.

Facendo riferimento alla figura 7, l'area di insediamento oggetto del piano attuativo non interesserà zone di salvaguardia di sorgenti o pozzi, per cui si reputano gli interventi compatibili con i vincoli esistenti.

5.4 VINCOLI DELLA NUOVA CARTA DI SINTESI DELLA PERICOLOSITA'

La PAT in attuazione dell'art. 10 della I.p. 1 luglio 2011, n.9, ha redatto *Le Carte della Pericolosità* della Provincia Autonoma di Trento (in seguito nominate CaP). Con l'entrata in vigore della Carta di Sintesi della Pericolosità (*CSP*) cesseranno di applicarsi le disposizioni e le cartografie della Carta di Sintesi Geologica e del del PGUAP in materia di uso del suolo, posto che la disciplina della nuova Carta soddisferà i requisiti e i principi stabiliti, sotto il profilo urbanistico, dal capo IV - Aree a rischio idrogeologico delle norme del PGUAP (art. 22, comma 2 della I.p. n. 15/2015 "legge provinciale per il governo del territorio"). Di seguito, per opportuna conoscenza, si riportano le previsioni di tale cartografia precisando che tale strumento cartografico e le minorme di attuazione collegate non sono attualmente in vigore, potranno subire modifiche nella fase di revisione della documentazione e non è ancora fissata ancora la data di entrata in vigore.

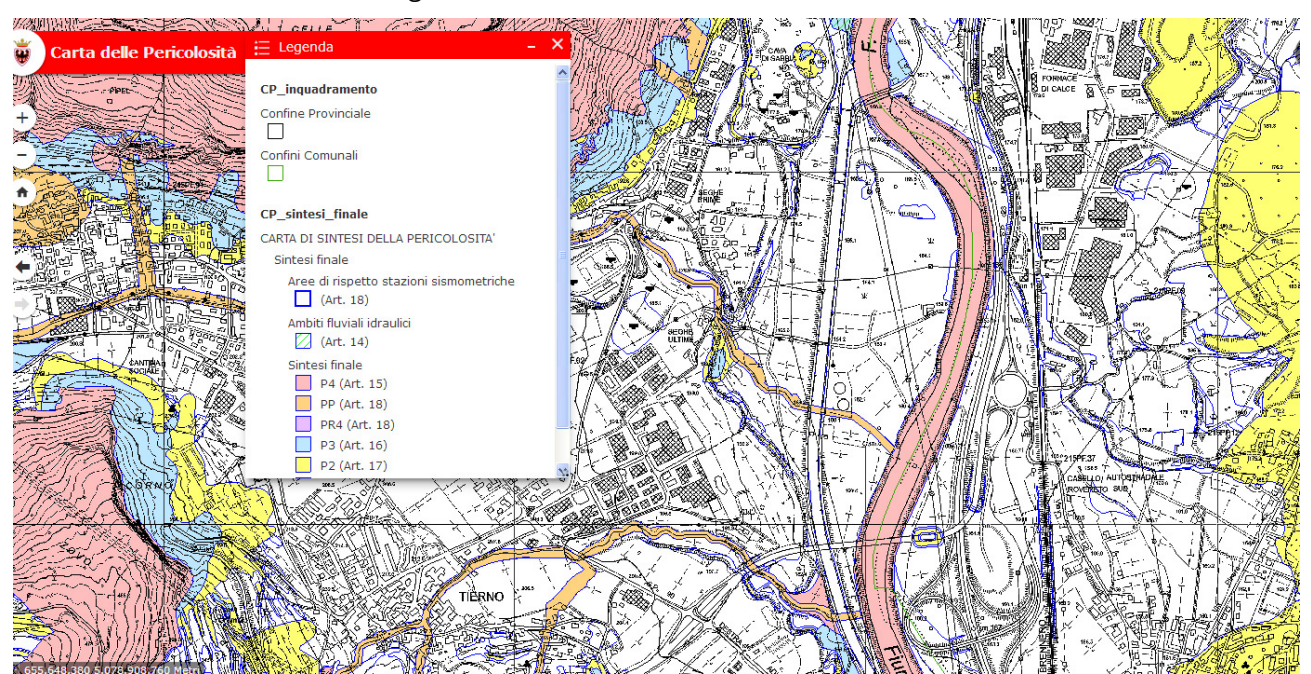


Figura 8. Estratto della nuova Carta di sintesi della Pericolosità P.A.T. (n.d.r. non in vigore)

Dall'estratto della carta di sintesi della pericolosità di figura 8 non si rilevano pericolosità specifiche per l'area delle "Casotte"; solo per l'alveo artificiale del Rio Cameras è indicata una pericolosità potenziale (PP), derivante da assenza di informazioni idrauliche specifiche.

•

6. INDAGINI GEOLOGICHE E GEOTECNICHE DISPONIBILI

Il presente studio si avvale di dati stratigrafici e geotecnici rilevati nel corso di indagini e studi pregressi elencati al capitolo 2, con particolare riferimento alle indagini contenute nei documenti [1-2-4-5-11], messi a disposizione in buona parte dal Committente Società TRENTINO SVILUPPO S.p.A. Le indagini di seguito richiamate e visionate sono riportate nella planimetria di Tavola 1.

Interpretazione stratigrafica dei sondaggi a carotaggio continuo esistenti:

INTERPRETAZIONE STRATIGRAFICA SONDAGGIO SPAbis (2005)

Profondità [m]	Descrizione stratigrafica	Unità Litostratigrafiche
0.0÷4.5	Materiale di riporto attività antropica: ghiaia poligenica con ciottoli e blocchi, blocchi di cls, resti di laterizi e altro, in matrice sabbiosa medio grossolana.	Riporto - Unità R
4.5÷24.7	ghiaia poligenica generalmente medio-grossolana con sabbia talora debolmente limosa mediamente addensata	UNITA' A1gs
24.7÷30.0	Limo sabbioso passante a limo moderatamente addensato	UNITA' A2I

INTERPRETAZIONE STRATIGRAFICA SONDAGGIO SP1 bis (2005)

Profondità [m]	Descrizione stratigrafica	Unità Litostratigrafiche
0.0÷4.8	Materiale di riporto attività antropica: ghiaia poligenica con ciottoli e blocchi, blocchi di cls, resti di laterizi e altro, in matrice sabbiosa medio grossolana.	Riporto - Unità R
4.8÷10.2	ghiaia poligenica generalmente medio-grossolana con sabbia talora debolmente limosa mediamente addensata	UNITA' A1gs
10.2÷21.8	Sabbia fine limosa con rada ghiaia	
21.8÷25.0	ghiaia poligenica generalmente medio-grossolana con sabbia talora debolmente limosa mediamente addensata	UNITA' A1gs

INTERPRETAZIONE STRATIGRAFICA SONDAGGIO SP5bis (2005)

Profondità [m]	Descrizione stratigrafica	Unità Litostratigrafiche
0.0÷8.4	Materiale di riporto attività antropica: ghiaia poligenica con ciottoli e blocchi, blocchi di cls, resti di laterizi e altro, in matrice sabbiosa medio grossolana.	Riporto - Unità R
8.4÷20.0	ghiaia poligenica generalmente medio-grossolana con sabbia talora debolmente limosa mediamente addensata	UNITA' A1gs
24.7÷30.0	Limo sabbioso passante a limo moderatamente addensato	UNITA' A2I

INTERPRETAZIONE STRATIGRAFICA SONDAGGIO S1/2007

Profondità [m]	Descrizione stratigrafica	Unità Litostratigrafiche
0.0÷3.3	Materiale di riporto corpo arginale: ghiaia calcarea eterometrica angolare in matrice sabbiosa	Riporto arginale - Unità R
3.3÷7.2	Limo sabbioso a tratti debolmente argilloso con ghiaietto sparso; intercalazioni decimetriche ghiaioso sabbiose (N _{SPT} 6÷10 c/p)	UNITA' A1Is
7.2÷154	Ghiaia poligenica sub-arrotondata con radi ciottoli (ϕ_{max} 10cm) in matrice sabbiosa mediamente addensata; localmente lenti pluridecimetriche sabbioso ghiaiose (N_{SPT} 20÷25 c/p).	UNITA' A1gs
15.4÷20.0	Sabbia fine con limo e limo sabbioso fine debolmente argilloso grigio, mediamente addensato (N _{SPT} 20÷25 c/p)	UNITA' FG1
20.0÷30.0	Sabbia fine con limo e limo sabbioso fine debolmente argilloso grigio, ben addensato ($N_{\text{SPT}} \ge 60 \text{ c/p}$)	UNITA' FG2

INTERPRETAZIONE STRATIGRAFICA SONDAGGIO PAT 3421

Profondità [m]	Descrizione stratigrafica	Unità Litostratigrafiche
0.0÷4.0	Materiale di riporto attività antropica: ghiaia sabbiosa con ciottoli e altro.	Riporto - Unità R
4.0÷6.5	Sabbia fine con limo poco addensata	UNITA' A1Is
6.5÷26.0	ghiaia poligenica generalmente media con ciottoli in matrice sabbiosa limosa mediamente addensata; localmente lenti pluridecimetriche sabbiose e sabbioso ghiaiose	UNITA' A1gs
26.0÷47.0	Limo sabbioso passante a tratti a limo argilloso, localmente poco ghiaioso, moderatamente addensato.	UNITA' A2I
47.0÷72.0	Ghiaia poligenica generalmente media con ciottoli in matrice sabbiosa limosa; localmente lenti pluridecimetriche sabbiose e sabbioso ghiaiose	UNITA' A2gs

INTERPRETAZIONE STRATIGRAFICA SONDAGGIO PAT 3479

Profondità [m]	Descrizione stratigrafica	Unità Litostratigrafiche
0.0÷3.0	Sabbia fine debol,mente limosa passante a sabbia limosa poco ghiaiosa, poco addensata (N _{SPT} 6÷9 c/p)	UNITA' A1Is
3.0÷14.6	ghiaia poligenica generalmente media con ciottoli in matrice sabbiosa limosa mediamente addensata; localmente lenti pluridecimetriche sabbiose e sabbioso ghiaiose (N _{SPT} 30÷45 c/p)	UNITA' A1gs
14.6÷20.0	Sabbia fine limosa con rada ghiaia (N _{SPT} 12÷15 c/p)	
20.0÷28.0	Ghiaia poligenica con sabbia e limo	UNITA' A1gs
28.0÷57.0	Limo sabbioso passante a tratti a limo argilloso, localmente poco ghiaioso, moderatamente addensato. ($N_{\rm SPT}$ 15 c/p)	UNITA' A2I
57.0÷60.0	Ghiaia poligenica generalmente media con ciottoli in matrice sabbiosa limosa; localmente lenti pluridecimetriche sabbiose e sabbioso ghiaiose	UNITA' A2gs

INTERPRETAZIONE STRATIGRAFICA DPSH 1

	Profondità [m]	Descrizione stratigrafica	Unità Litostratigrafiche
ſ	0.0÷2.8	Sabbie limose e sabbie poco addensate (N _{SPT} 5÷10 c/p)	UNITA' A1Is
ſ	2.8÷6.6	Ghiaie sabbiose con ciottoli mediamente addensate (N _{SPT} 20÷35 c/p)	UNITA' A1gs

INTERPRETAZIONE STRATIGRAFICA DPSH 2

Profondità [m]	Descrizione stratigrafica	Unità Litostratigrafiche
0.0÷09	Sabbie limose poco addensate N _{SPT} 7÷8 c/p)	UNITA' A1Is
0.9÷4.4	Ghiaie sabbiose con ciottoli mediamente addensate (N _{SPT} 20÷35 c/p)	UNITA' A1gs

INTERPRETAZIONE TR9

Profondità [m]	Descrizione stratigrafica	Unità Litostratigrafiche
0.0÷1.4	Sabbie fine monogranulare marrone debolmente limosa poco addensata	
1.4÷2.4	Sabbia fine monogranulare grigia debolmente limosa poco addensata	UNITA' A1Is

INTERPRETAZIONE TR10

Profondità [m]	Descrizione stratigrafica	Unità Litostratigrafiche
0.0÷2.0	Sabbie limosa marrone passante al grigio poco addensata	
2.0÷2.4	Ghiaia sabbiosa con ciottoli, a tratti sabbia prevalente.	UNITA' A1Is

INTERPRETAZIONE TR13

Profondità [m]	Descrizione stratigrafica	Unità Litostratigrafiche	
0.0÷1.8	Riporto antropico: blocchi calcarei (10-30 cm) in matrice sabbiosa con locali resti di laterizi e di asfalto frantumato.	UNITA' A1Is	

INTERPRETAZIONE TR14

Profondità [m]	Descrizione stratigrafica	Unità Litostratigrafiche
0.0÷2.1	Riporto antropico: blocchi calcarei (10-30 cm) in matrice sabbiosa con locali resti di laterizi e di asfalto frantumato.	UNITA' A1Is

7. CARATTERIZZAZIONE AMBIENTALE DELLE TERRE

In relazione ai progetti per il recupero della zona a scopo artigianale ed industriale ed alla presenza delle vasche di Alluminia nel settore nord (Ambito B) ed alla storicità del sito, che ha localmente evidenziato problematiche di tipo ambientale, l'area delle "Casotte" è stata oggetto di numerose indagini ambientali esposte negli studi [1], [3], [4], [7] e [9]. Come specificato al capitolo 1.0, il settore definito Ambito B è soggetto a procedura di bonifica ambientale che esula dalle finalità del presente documento. Per la restante area (Ambito A), gli studi di caratterizzazione a cui si rimanda sono il [3], il [4] ed il [9]. In particolare la campagna di indagine e lo studio [9], in ordine cronologico il più recente (2016), a firma dell'ing. R. Andreatta della RCP Società di Ingegneria di Trento conclude " I risultati delle analisi svolte non hanno evidenziato superamenti dei limiti di legge, risultando quindi compatibili con la destinazione d'uso del suolo. Per quanto riguarda la campagna del ottobre 2014, i risultati erano stati del tutto analoghi, ovvero i valori erano al di sotto dei limiti fissati in relazione alla destinazione d'uso del suolo vigente".

8. MODELLO GEOLOGICO DI RIFERIMENTO

8.1 ASSETTO LITOSTRATIGRAFICO LOCALE

L'acquisizione delle informazioni stratigrafiche reperibili per l'area in oggetto, ha consentito di elaborare la ricostruzione concettuale dell'assetto litostratigrafico locale, distinguendo i 3 areali indicati nella planimetria di Tavola 2, come di seguito esposto.

AREALE 1: Corrisponde all'Ambito B oggetto di bonifica. L'area risulta superiormente sopraelevata e si sviluppa mediamente tra le quote 170.0÷170.5 m slm. Il materiale di riporto e rimaneggiamento e sostituzione antropica (UNITA' R), ha qui uno spessore variabile tra i 4.5 e gli 8.5 m ed è generalmente costituito da ghiaia poligenica con ciottoli e blocchi, localmente blocchi di cls, resti di laterizi e altro materiale, in matrice sabbiosa, con zone contaminate oggetto di interventi di bonifica ambientale. L'orizzonte sabbioso limoso naturale più superficiale (UNITA' A1sl) risulta localmente diffusamente asportato dall'azione antropica ed al riporto segue generalmente l'UNITA' A1gs costituita da ghiaia poligenica media con ciottoli in matrice sabbiosa limosa da mediamente a ben addensata; all'interno dell'Unità A1gs sono localmente presenti intercalazioni di lenti pluridecimetriche sabbiose e sabbioso ghiaiose moderatamente addensate. Al di sotto dei 25.0÷30.0 m dal p.c. è presente una sequenza fluvio-lacustre (Unità A2I) costituita da limo sabbioso grigio moderatamente addensato passante a tratti a limo argilloso moderatamente consistente, localmente poco ghiaioso. Al di sotto dei 45÷60 m dal p.c. è localmente documentata la presenza di una sequenza di ambiente alluvionale di elevata energia [11] costituita da Ghiaia poligenica con ciottoli in matrice sabbiosa limosa con intercalazioni di lenti pluridecimetriche sabbiose e sabbioso ghiaiose (Unità A2gh).

AREALE 2: Corrisponde al settore settentrionale dell'Ambito A che costituisce un area di terrazzo alluvionale ricaricata con materiale di riporto che si sviluppa mediamente tra le quote 168.0÷168.5 m slm. Il materiale di riporto (UNITA' R), ha qui uno spessore medio dell'ordine dei 2.5 m e risulta costituito da blocchi calcarei (10÷30 cm) e ghiaia in matrice sabbiosa o ghiaie in matrice sabbiosa; localmente possono rivenirsi tracce di resti di laterizi o asfalto frantumato. Dalla documentazione fotografica delle trincee esplorative, il riporto risulta essere stato steso con un criterio geotecnico non uniforme di selezione e compattazione del materiale, ma trattandosi in genere di terreno arido granulare presenta mediamente discrete/buone caratteristiche geotecniche. Il riporto ricopre l'orizzonte superficiale di esondazione (UNITA' A1sl) costituito sabbie fini a tratti debolmente limose e sabbie limose debolmente ghiaiose, poco addensate. Tale orizzonte è diffusamente presente sull'area con spessore mediamente variabile tra 1.5÷2.5 m ed è quindi normalmente rilevabile sino alla profondità di 4÷6 m dal p.c. Segue l'UNITA' A1gs costituita da *ghiaia poligenica media con*

ciottoli in matrice sabbiosa limosa da mediamente a ben addensata; all'interno dell'Unità A1gs sono localmente presenti intercalazioni di lenti pluridecimetriche sabbiose e sabbioso ghiaiose moderatamente addensate. Al di sotto dei 25.0÷30.0 m dal p.c. e sino a profondità di interesse geotecnico (40÷45 m dal p.c.), è presente la sequenza fluvio-lacustre (Unità A2I) costituita da limo sabbioso grigio moderatamente addensato passante a tratti a limo argilloso moderatamente consistente, localmente poco ghiaioso.

AREALE 3: Corrisponde al settore centro meridionale dell'Ambito A che costituisce l'area di terrazzo alluvionale mantenuta in condizioni topografiche più o meno originarie che degrada in direzione sud tra le quote 166.0÷164.0 m slm. In tale settore, al di sotto di una coltre di suolo pluridecimetrica, è generalmente presente l'orizzonte superficiale di esondazione (UNITA' A1sl) costituito sabbie fini a tratti debolmente limose e sabbie limose debolmente ghiaiose, poco addensate. sino alla profondità variabile di 2.5÷4.0 m dal p.c.

Segue l'UNITA' A1gs costituita da *ghiaia poligenica media con ciottoli in matrice sabbiosa limosa da mediamente a ben addensata*, all'interno dell'Unità A1gs sono localmente presenti intercalazioni di lenti pluridecimetriche sabbiose e sabbioso ghiaiose moderatamente addensate. Al di sotto dei 25.0÷30.0 m dal p.c. e sino a profondità di interesse geotecnico, è presente la sequenza fluvio-lacustre (Unità A2I) costituita da limo sabbioso grigio moderatamente addensato passante a tratti a limo argilloso moderatamente consistente, localmente poco ghiaioso. Fa eccezione il settore sud occidentale dell'area (produttivo 04/parcheggio 01 lato canale) dove l'UNITA' A1gs a profondità dell'ordine dei 12.0÷15.0 m dal p.c. appoggia su un relitto di corpo fluvio-glaciale superiormente (Areale 3b), per i primi 5.0 m circa, rammollitio (UNITA' FG1 - Sabbia fine con limo e limo sabbioso fine debolmente argilloso grigio, mediamente addensato) ed inferiormente sovraconsolidato (UNITA' FG2 - Sabbia fine con limo e limo sabbioso fine debolmente argilloso grigio, ben addensato).

8.2 ASSETTO IDROGEOLOGICO LOCALE

L'assetto idrogeologico dell'area d'indagine è caratterizzato dalla presenza di un primo acquifero localizzato entro i depositi ghiaioso sabbiosi del corpo alluvionale terrazzato dell'Adige (*Unità A1gh*), contenente una falda a superficie libera costituente un sistema globale con il F. Adige, il cui livello è peraltro giornalmente regimato dalla chiusa di Mori. La direzione di flusso è in prima approssimazione concorde con quella valliva con un gradiente medio di filtrazione dell'ordine dell'1.0÷1.5 ‰. Per il settore in oggetto, nei precedenti studi geologici eseguiti nell'area [1-2], il livello piezometrico viene posto, per cicli annuali normali, oscillante tra le quote 158.0÷161.0 m slm per la zona sud, e 1.0 m circa più in alto per la zona al limite nord. Il livello di base dell'acquifero superiore è localmente posto tra i -15.0÷30.0 m dal p.c. e corrisponde con il tetto delle *Unità A2l* (o *Unità FG1* ove presente).

9. MODELLAZIONE SISMICA LOCALE

9.1 INQUADRAMENTO SISMO TETTONICO DELL'AREA

Il Trentino si localizza nell'unità sismogenetica dell'area gardesana e lessinea, in un zona marginale a medio bassa sismicità. Questo settore vallivo in particolare sembra collocarsi in un una fascia di rapido approfondimento della *Moho* (*Scarascia e Cassinis, 1997*), alla confluenza di aree sismo-tettoniche differenti: ad ovest dell'Adige "l'area benacense" estesa geograficamente sino alla sella di Terlago, che risulta essere tettonicamente attiva lungo faglie transpressive a direzione prevalente NNE-SSW (sistema tettonico delle Giudicarie); a sud-est "l'area lessinea", caratterizzata da attività sismica di grado medio basso e costituisce l'area di svincolo scledense (SE-NW) nell'alta Valsugana.

Fonti aggiornate in base ai risultati del progetto INGV-DPC per la valutazione della pericolosità sismica in Italia (Gruppo di lavoro DISS - 2015), evidenziano per la nostra area le seguenti strutture sismo-genetiche composite (figure 9):

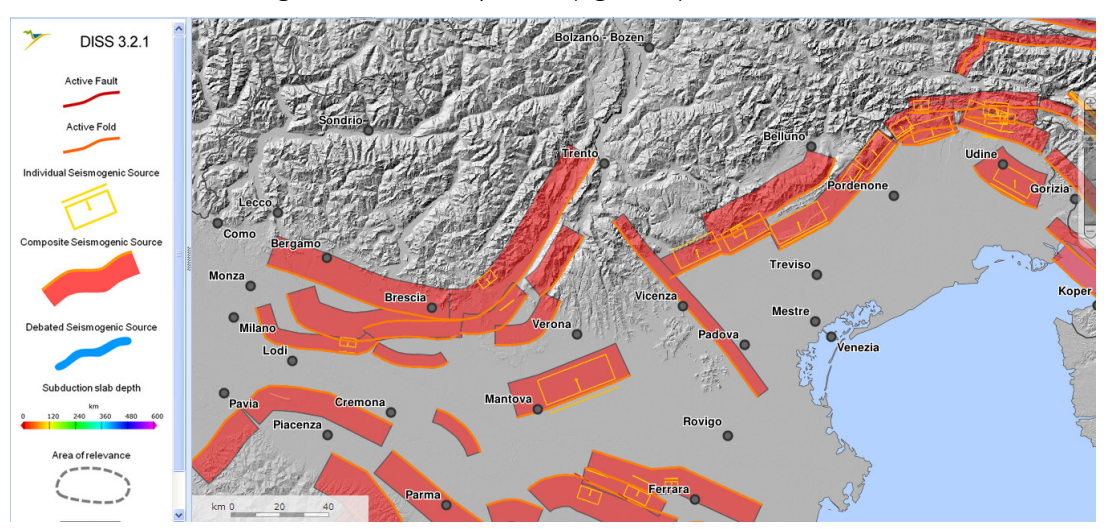
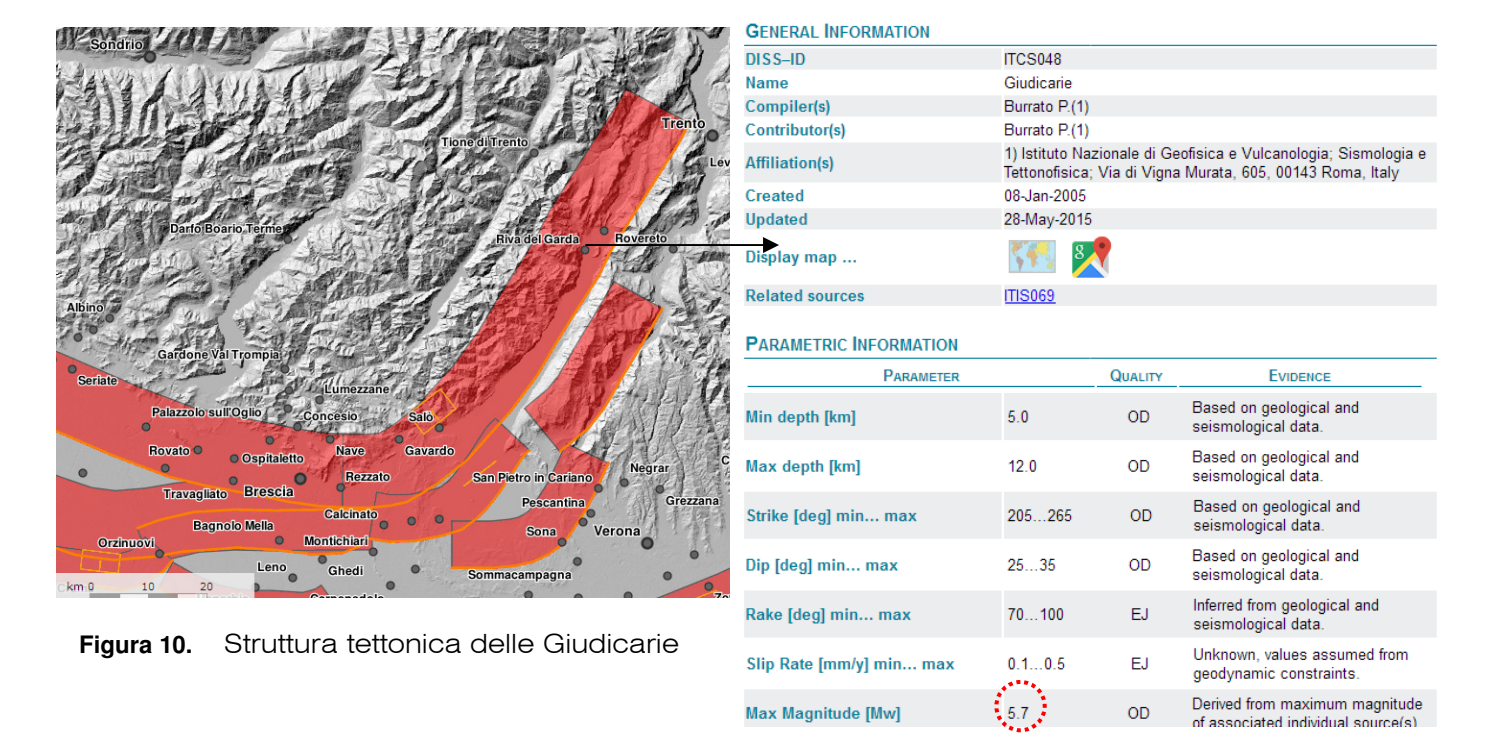


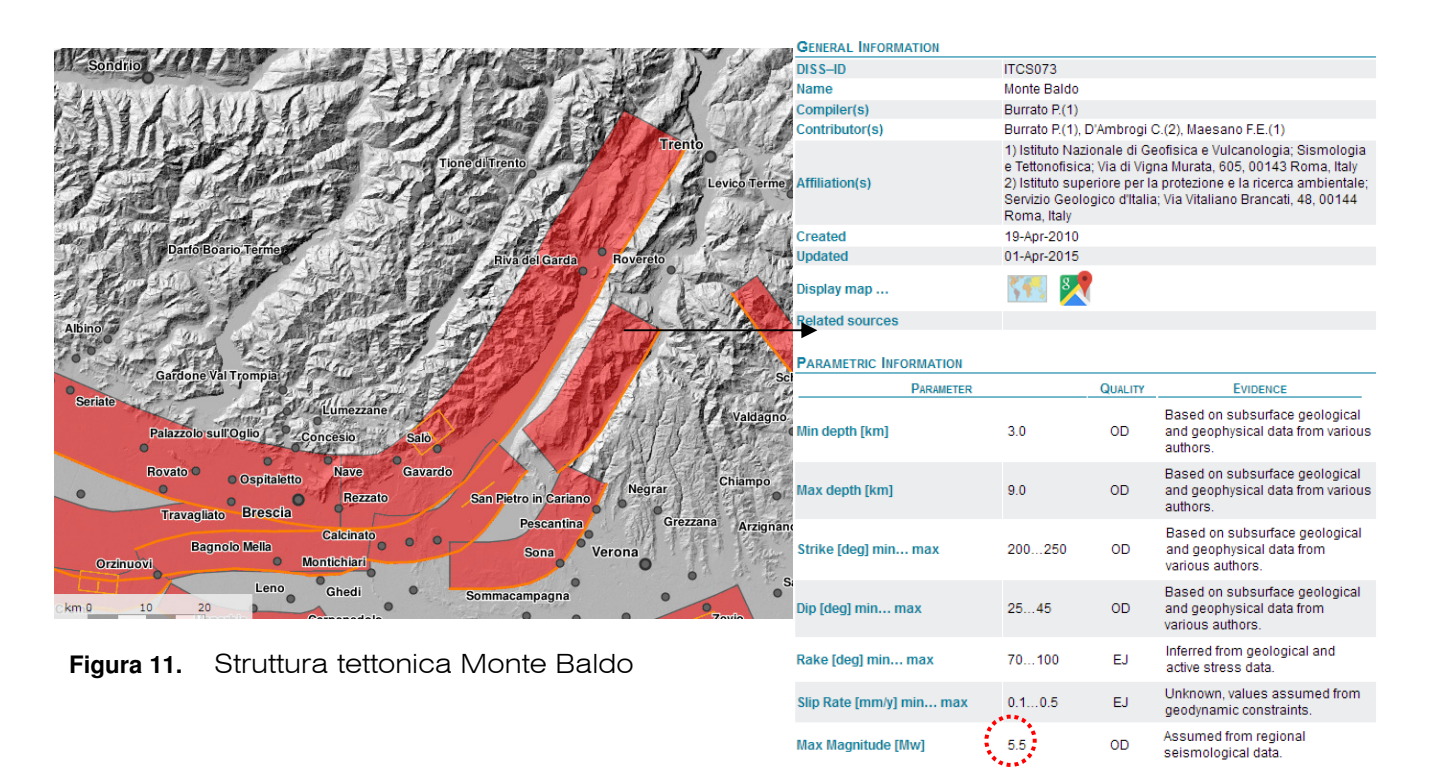
Figura 9. Open Gis banca dati DISS 2015, versione 3.2.0 (INGV)

• La struttura tettonica composita delle *Giudicarie* (figura 10), orientata SW-NE, che si sviluppa tra le città di Salò e Trento, a costituire la rampa meridionale del fronte arcuato di spinta sudalpino (S-SE), riconducibile al sistema della *Linea delle Giudicarie*. Cataloghi storici e strumentali (*Boschi et al., 2000, Gruppo di Lavoro CPTI, 2004; Pondrelli et al., 2006; Guidoboni et al., 2007*) mostrano una distribuzione dispersa ma significativa di sismicità intermedia (magnitudo momento M_w ca. 4) nel settore centrale di questa regione (alla latitudine del nostro areale), fino alla valle del Sarca. La magnitudo massima registrata (M_w 5.7) è associata ad un importante terremoto che si è verificato il 30 ottobre 1901 a Salò; in seguito, circa un secolo dopo e praticamente nella stessa area, si è registrato un

ulteriore significativo evento il 24 novembre 2004 (M_w 5.2); un altro terremoto distruttivo si è verificato a sud-est di questa sorgente, il 3 gennaio 1117 (M_w 6.6)



- La struttura tettonica composita del *Baldo* (figura 11), che si estende a cavallo della regione a est del Lago di Garda e appartiene al fronte di spinta più esterno del sistema delle Giudicarie, che costituisce un arco esterno che va da S a SE. Cataloghi storici e strumentali (Boschi et al., 2000, Gruppo di Lavoro CPTI, 2004; Pondrelli et al., 2006; Guidoboni et al., 2007) mostrano una sismicità intermedia sparsa ma significativa nelle parti centrale e settentrionale di questa regione, lungo la dorsale del Monte Baldo. In particolare, i cataloghi storici elencano 9 eventi verificatisi durante il XIX e il XX secolo con magnitudo nell'intervallo tra M_w 4,6 e 5,2, che sembrano essere stati generati da sorgenti sismogenetiche appartenenti a questa struttura.
- Il sistema *Schio-Vicenza* (figura 12), con direzione NW-SE, un insieme di faglie di svincolo ad alto angolo che abbassano ad est la successione sedimentaria della pianura veneta. La struttura principale di questo sistema di faglie è la cosiddetta linea Schio-Vicenza, una NW-SE, lunga 120 km. Storicamente non sembra che tale sistema abbia generato terremoti uguali o superiori alla magnitudine 5.0, ma in difetto di conoscenze alla struttura sismo genica viene associata una magnitudo massima M_w 5,6. Altri terremoti strumentali si sono verificati vicino alla parte settentrionale della struttura (Viganò et al., 2008; Viganò et al., 2015). Tra questi, il 16 giugno 2000, il terremoto di Mw 3.7 si è verificato nei pressi di Rovereto lungo il settore più settentrionale di questo sistema di faglie.



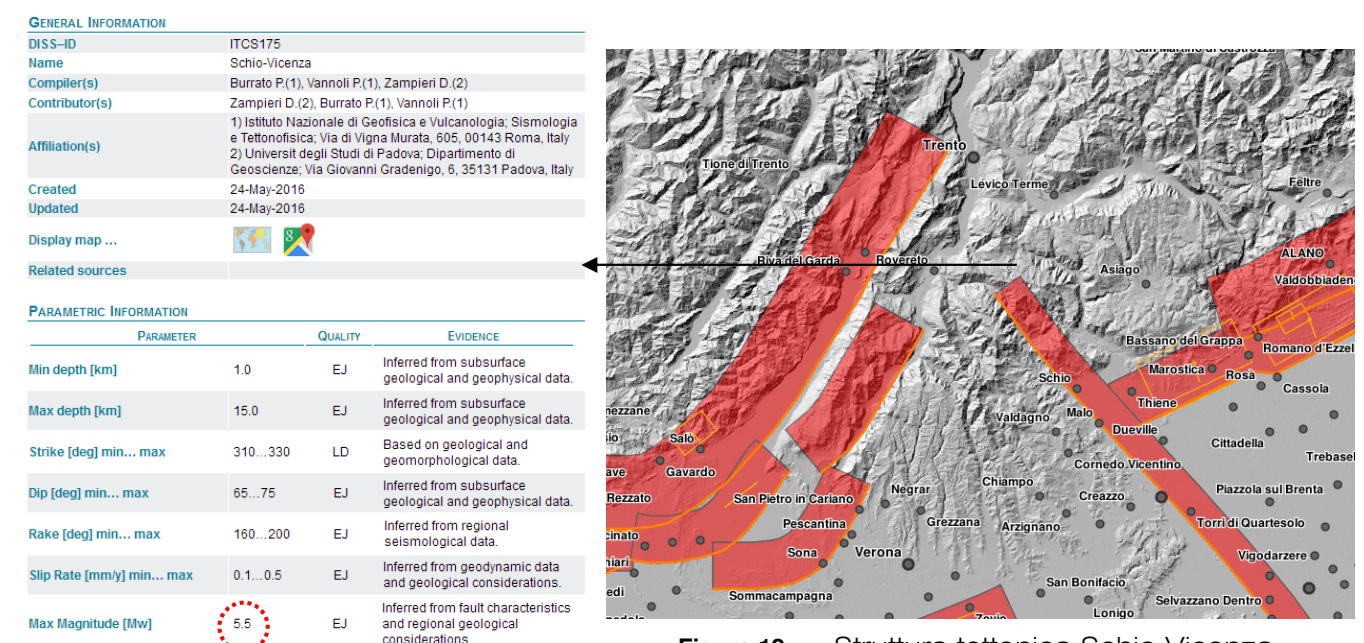


Figura 12. Struttura tettonica Schio Vicenza

9.2 SISMICITA' DELL'AREA

Il Catalogo Parametrico dei Terremoti Italiani 2015 (CPTI15) fornisce dati parametrici omogenei, sia macrosismici, sia strumentali, relativi ai terremoti con intensità massima ≥ 5 o magnitudo ≥ 4.0 d'interesse per l'Italia nella finestra temporale tra il 1000 e il 2014. La magnitudo utilizzata è la magnitudo momento (M_w). I dati ottenuti dalla consultazione del database per la zona di Rovereto, sono stati riassunti nella tabella di seguito riportata.

Tabella 9.2.a - Storia sismica dell'area Rovereto/Mori (CPTI15)

### Anno Me Gi Ho Mi Se	5 94 20 97 26 15 11 197 25 37 78	4 8 5 7-8 8 6 5 9-10	Miw 3.70 5.60 4.62 5.51 5.53 4.92 4.40 6.29 5.01
### 1802 05 12 09 30	20 97 26 15 11 197 25 37 78 47	5 7-8 8 6 5 9-10	4.62 5.51 5.53 4.92 4.40 6.29
4	97 26 15 11 197 25 37 78 47	7-8 8 6 5 9-10	5.51 5.53 4.92 4.40 6.29
4	26 15 11 197 25 37 78 47	8 6 5 9-10 7	5.53 4.92 4.40 6.29
Valli Giudicarie 1818 181 181 181 181 181 181 181 181 1	15 11 197 25 37 78 47	6 5 9-10 7	4.40
### 1868 05 22 21 15 Garda settentrionale ### 1873 06 29 03 58 Alpago Cansiglio #### 1876 04 29 10 49 Monte Baldo #### 1882 02 27 06 30 Valle Seriana #### 1885 02 26 20 48 Pianura Padana #################################	11 197 25 37 78 47	5 9-10 7	6.29
# 1873 06 29 03 58 Alpago Cansiglio # 1876 04 29 10 49 Monte Baldo # 1882 02 27 06 30 Valle Seriana # 1885 02 26 20 48 Pianura Padana # 1885 12 29 Alpago Cansiglio	197 25 37 78 47	9-10 7	6.2
### 1876 04 29 10 49 Monte Baldo #### 1882 02 27 06 30 Valle Seriana ##################################	25 37 78 47	7	
4	37 78 47		5.0
# 1885 02 26 20 48 Pianura Padana # 1885 12 29 Alpago Cansiglio	78 47	6-7	
	47		4.8
		6	5.0
		6	4.9
	1511	9	6.2
₱ 1890 03 26 20 10 Bellunese	48	6	4.8
₽ 1891 06 07 01 06 1 Valle d'Illasi	403	8-9	5.8
4 # 1892 01 05 Garda occidentale	93	6-7	
☑ 1892 08 09 07 58 Valle d'Alpone	160	6-7	4.9
₫ 1894 02 09 12 48 0 Valle d'Illasi	116		4.7
☑ 1894 11 27 05 07 Bresciano	183		4.8
# 1895 06 10 01 47 Prealpi Trevigiane	73		4.8
₽ 1895 11 02 07 30 Valle de' Signori	11		4.3
4 @ 1897 01 27 01 35 Prealpi Vicentine	16		4.1
☑ 1899 10 30 15 12 Prealpi Vicentine	8		4.2
☑ 1900 03 04 16 55 Asolano	98		5.0
₫ 1901 10 30 14 49 5 Garda occidentale	289		5.4
4	184	6-7	4.9
₫ 1904 03 10 04 23 0 Slovenia nord-occidentale	57		
5 🗗 1907 04 25 04 52 Veronese	122		4.7
5 🗗 1908 03 15 07 38 3 Valle d'Illasi	28		4.9
3 🛃 1908 07 10 02 13 3 Carnia	119		5.3
☑ 1909 01 13 00 45 Emilia Romagna orientale	867		5.3
☑ 1914 10 27 09 22 Lucchesia	660		5.6
₫ 1919 06 29 15 06 1 Mugello	565	10	6.3
₫ 1924 03 26 17 08 0 Tirolo	2		5.1
	78		5.4
₫ 1929 05 11 19 23 Bolognese	64		5.2
₫ 1931 04 14 22 13 Valli Giudicarie	160		4.7
₽ 1943 07 24 01 44 Feltrino	29		5.0
5 🗗 1948 07 19 18 11 2 Garda settentrionale	16		4.8
☑ 1951 05 15 22 54 Lodigiano	179		5.1
☑ 1959 04 26 14 45 Carnia	122		5.2
4	50		4.8
4 1961 11 23 01 12 0 Prealpi bergamasche	119		4.8
☑ 1968 06 22 12 21 3 Val Lagarina	27		4.7
☑ 1971 07 15 01 33 2 Parmense	228		5.5
☑ 1976 05 06 20 Friuli	770	9-10	
6	128		4.9
☑ 1978 12 05 15 39 0 Romagna	34		4.6
₽ 1983 11 09 16 29 5 Parmense	850		5.0
☑ 1987 05 24 10 23 2 Garda occidentale	29		4.6
☑ 1987 07 10 08 09 2 Garda settentrionale	15		4.1
6 🚱 1989 09 13 21 54 0 Prealpi Vicentine	779		4.8
5 🛃 1994 10 24 23 22 4 Val Lagarina	75		4.1
🗗 1996 10 15 09 55 5 Pianura emiliana	135		5.3
🗗 2001 07 17 15 06 1 Val Venosta	657		4.7
	291	6-7	5.3

Rovereto

PlaceID IT_21839

Coordinate (lat, lon) 45.888, 11.037

Comune (ISTAT 2015) Rovereto

Provincia Trento

Regione Trentino-Alto Adige

Numero di eventi riportati 56

Int. = Intensità macrosismica scala
Mercalli-Cancani-Sieberg (MCS)
registrata nell'area di Rovereto; a
destra in giallo.

Area epicentrale = area geografica
in cui sono stati riscontrati gli
effetti maggiori del terremoto;

NMDP = Numero di punti, numero di
osservazioni macrosismiche
disponibili per il terremoto;

To = Intensità macrosismica
epicentrale, da CPTI15, espressa in
scala MCS, Mercalli-Cancani-Sieberg;

Mw = Magnitudo momento area
epicentrale

La tabella della storia sismica è ordinata per data (a partire dal 1785) ed è riferita agli eventi che hanno prodotto i maggiori danni nel territorio di Rovereto, dove sono stati osservati molti eventi tellurici di intensità compresa fra 2 MCS e 6 MCS. Le aree epicentrali che hanno dato luogo agli eventi di maggiore intensità nell'area di Rovereto (6 MCS) si trovano ad *Alpago* (BL), Val d'Illasi (VR), Val Lagarina, Friuli, Garda settentrionale, Prealpi Vicentine, e sono rappresentati dai picchi di intensità I_o (MCS) riportati nel grafico di figura 13.

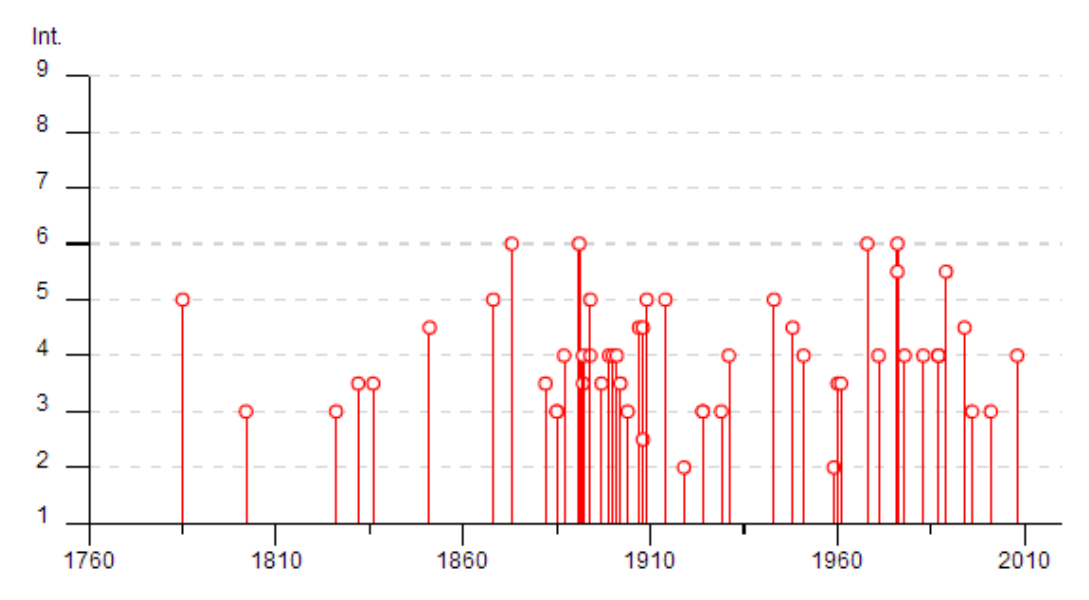


Figura 13. Grafico dei principali terremoti con effetti macrosismici nell'area di Rovereto

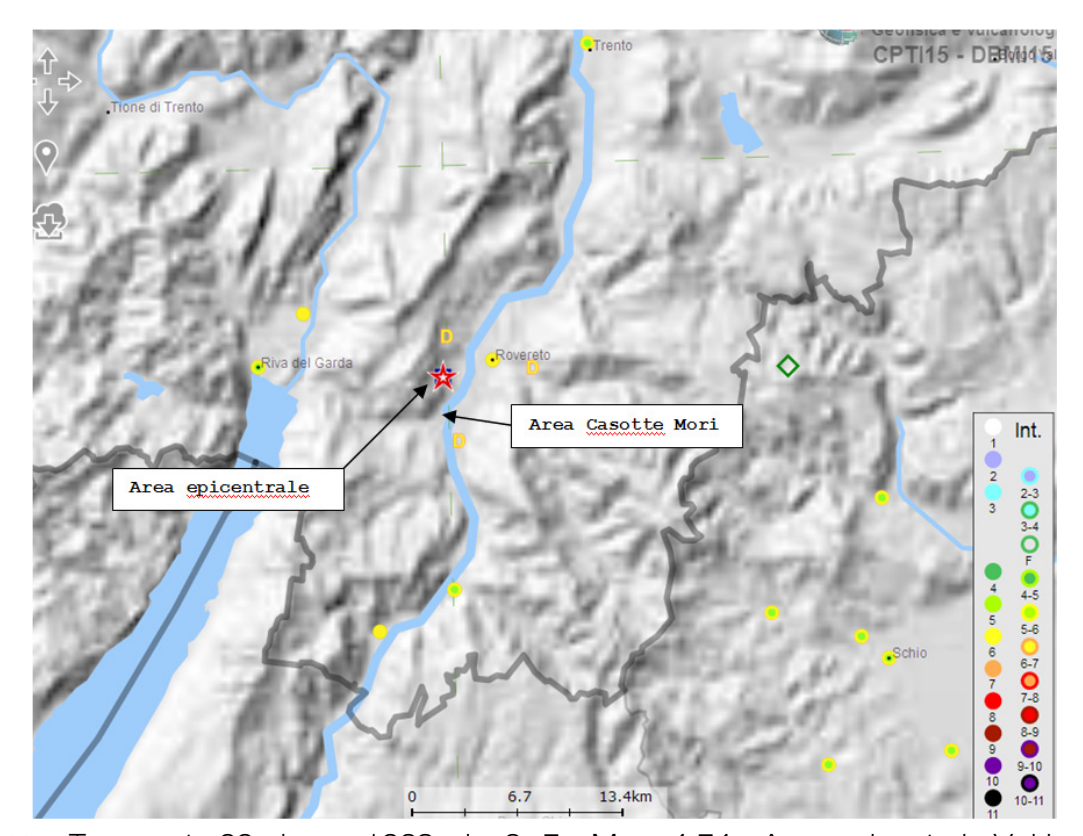


Figura 14. Terremoto 22 giugno 1968 – I_o = $6\div7$ – M_w = 4.74 – Area epicentrale Val Lagarina

In particolare l'epicentro del sisma del 1968 in Val Lagarina è risultato essere molto vicino all'area di studio come evidenziato dall'estratto di figura 14.

Sulla base dei dati storici disponibili appare pertanto che il VI-VII grado di MCS può essere considerato come il grado di danneggiamento massimo storicamente registrato nell'area di studio.

9.3 PERICOLOSITA' SISMICA DELL'AREA E RISPOSTA SISMICA LOCALE

9.3.1 PREMESSE - PERICOLOSITA' SISMICA

La zonazione sismica, in applicazione dell'O.P.C.M. 3274/2003 ed ai recepimenti normativi di competenza provinciale, classifica il Comune di Mori in **zona 3**, nella quale il territorio può essere soggetto a scuotimenti medi/modesti (vedi capitoli precedeti).

La pericolosità sismica di base, in ottemperanza alle *NTC 2018*, andrà definita per ogni singola opera in termini di *accelerazione orizzontale massima attesa* a_g in condizioni di campo libero su sito di riferimento rigido con superficie topografica orizzontale (*bed rock sismico* con $V_S > 800$ m/s) nonché di ordinate dello spettro di risposta elastico in accelerazione ad essa corrispondente $S_e(T)$, con riferimento a prefissate probabilità di eccedenza P_{VR} come definite al paragrafo 3.2.1 delle NTC 2018, nel periodo di riferimento V_R come definito al paragrafo 2.4 delle NTC 2018.

Ai fini della definizione dell'azione sismica di progetto, l'effetto della **risposta sismica** locale, qualora le condizioni stratigrafiche e le proprietà dei terreni siano chiaramente riconducibili alle categorie definite nella Tab. 3.2.Il delle NTC 2018 (riportata al capitolo seguente), si potrà fare riferimento a un approccio semplificato che si basa sulla classificazione del sottosuolo in funzione dei valori della velocità di propagazione delle onde di taglio, V_{s.}come riportato al capitolo seguente.

9.3.2 EFFETTI STRATIGRAFICI E TOPOGRAFICI E PARAMETRI DI SITO

Gli effetti di amplificazione locale dovuti alla stratigrafia ed alla conformazione topografica vengono messi in conto mediante i seguenti parametri:

➤ Parametro S_S: Effetti stratigrafici
 ➤ Parametro S_T: Effetti topografici

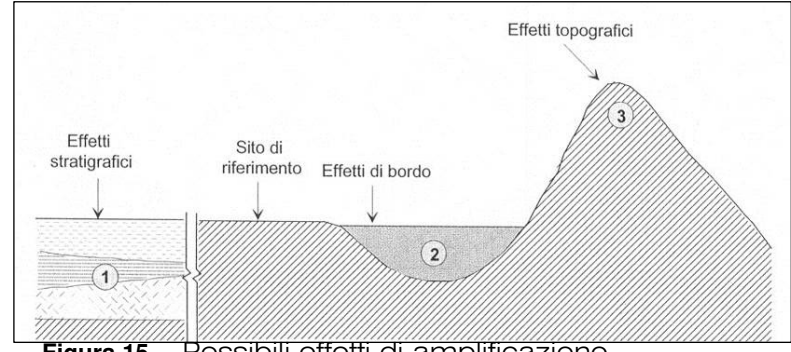


Figura 15. Possibili effetti di amplificazione

Il parametro di risentimento in superficie legato agli effetti stratigrafici (S_s) viene valutato con riferimento all'approccio semplificato che si basa sulla classificazione del sottosuolo in funzione dei valori della velocità di propagazione delle onde di taglio, V_s . La velocità equivalente di propagazione delle onde di taglio, $V_{s,eq}$ (in m/s), è definita dall'espressione:

$$V_{S,eq} = \frac{H}{\sum_{i=1}^{N} \frac{h_i}{V_{S,i}}}$$

con:

h_i spessore dell'i-esimo strato;

 $\dot{V}_{\rm S.i.}$ velocità delle onde di taglio nell'i-esimo strato;

N numero di strati;

H profondità del substrato, definito come quella formazione costituita da roccia o terreno molto rigido, caratterizzata da Vs non inferiore a 800 m/s.

Per depositi con profondità H del *bed rock simsico* superiore a 30 m, <u>come è il caso dell'area in oggetto</u>, la velocità equivalente delle onde di taglio $V_{s,eq}$ è definita dal parametro $V_{s,30}$, ottenuto ponendo H=30 m nella precedente espressione e considerando le proprietà degli strati di terreno fino a tale profondità. Le categorie di sottosuolo che permettono l'utilizzo dell'approccio semplificato sono definite in Tabella 9.3.2.a.

Tabella 9.3.2.a – Categorie dei suoli di fondazione (NTC 2018)

Categoria	Caratteristiche della superficie topografica	
A	Ammassi rocciosi affioranti o terreni molto rigidi caratterizzati da valori di velocità delle onde di taglio superiori a 800 m/s, eventualmente comprendenti in superficie terreni di caratteristiche meccaniche più scadenti con spessore massimo pari a 3 m.	
В	Rocce tenere e depositi di terreni a grana grossa molto addensati o terreni a grana fina molto consistenti, caratterizzati da un miglioramento delle proprietà meccaniche con la profondità e da valori di velocità equivalente compresi tra 360 m/s e 800 m/s.	
С	Depositi di terreni a grana grossa mediamente addensati o terreni a grana fina mediamente consistenti con profondità del substrato superiori a 30 m, caratterizzati da un miglioramento delle proprietà meccaniche con la profondità e da valori di velocità equivalente compresi tra 180 m/s e 360 m/s.	
D	Depositi di terreni a grana grossa scarsamente addensati o di terreni a grana fina scarsamente consistenti, con profondità del substrato superiori a 30 m, caratterizzati da un miglioramento delle proprietà meccaniche con la profondità e da valori di velocità equivalente compresi tra 100 e 180 m/s.	
Е	Terreni con caratteristiche e valori di velocità equivalente riconducibili a quelle definite per le catego- rie C o D, con profondità del substrato non superiore a 30 m.	

Sulla base delle indagini geologiche e geofisiche precedentemente eseguite nell'area in oggetto ed in aree limitrofe, in parte raccolte nella *Carta Sismica di Suoli*, edita dal *Servizio Geologico della PAT* (della quale un estratto locale è riportato in figura 16), ai fini della definizione dell'azione sismica di progetto, per l'area di studio i valori del parametro Vs_{30} individuano un suolo di fondazione di **categoria C** con velocità V_{s30} di poco inferiore a 360 m/s.

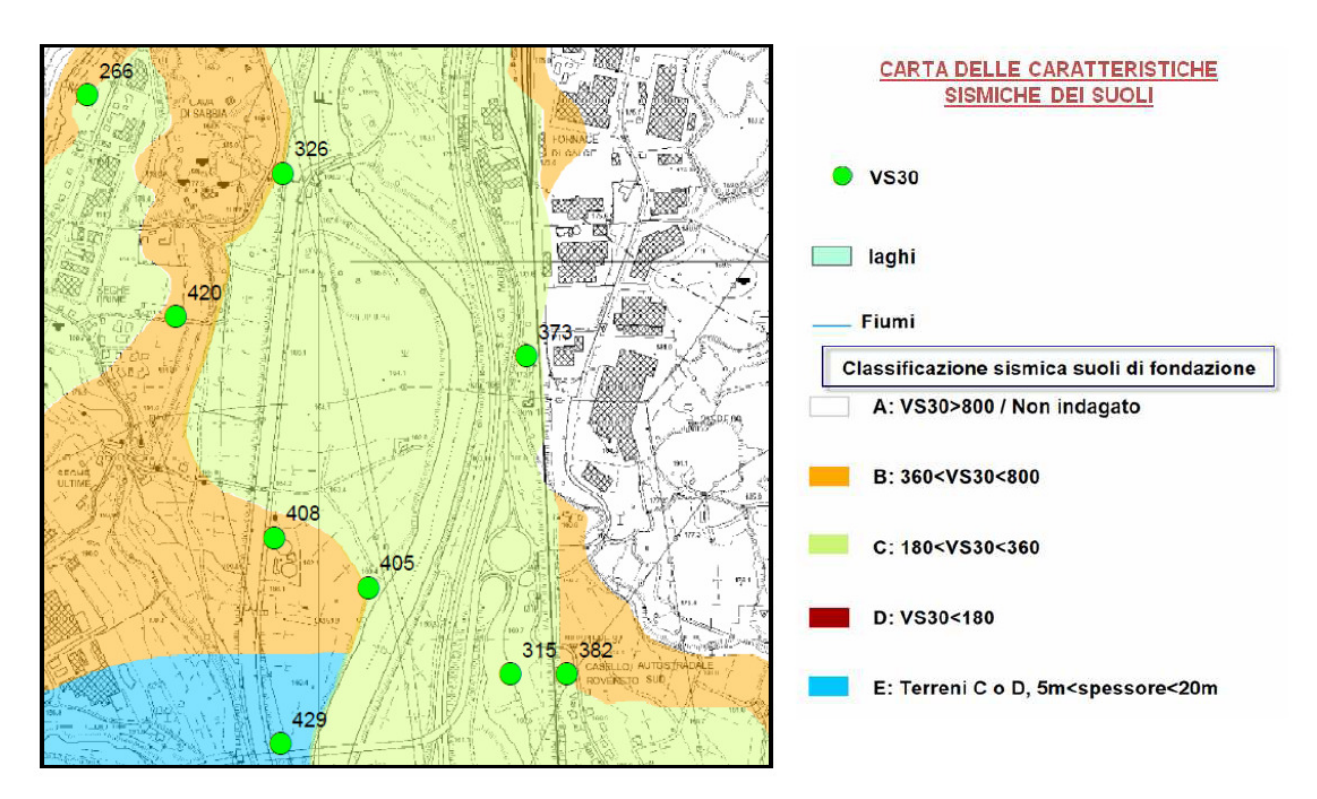


Figura 16. Estratto Carta delle caratteristiche sismiche dei suoli (fonte Servizio Geologico P.A.T).

Per quanto concerne gli effetti di amplificazione dovuti alla topografia, in considerazione del fatto che il sito è posto su un area sub pianeggiante, si deve adottare la seguente categoria topografica:

Tabella 9.3.2.b – Categorie topografica (NTC 2018)

Categoria	Descrizione del pendio	Ubicazione struttura	S _T
T4	Rilievi con larghezza in cresta moltomolto minore che alla base e inclinazione media superiore a 30°	In corrispondenza della cresta	1.4
Т3	Rilievi con larghezza in cresta moltomolto minore che alla base e inclinazione media compresa tra 15 e 30°	In corrispondenza della cresta	1.2
T2	Pendii con inclinazione media superiore a 15°	In corrispondenza della sommità	1.2
T1	Superficie pianeggiante, pendii e rilievi isolati con inclinazione media inferiore a 15°		1.0

Categoria topografica \mapsto T1 e parametro $S_T = 1.0$

10. MODELLO GEOTECNICO DI RIFERIMENTO

Sulla base delle indagini pregresse, richiamate al capitolo 6 e con riferimento all'assetto litostratigrafico ricostruito al capitolo 8.1 della presente relazione (*modello geologico di riferimento*), si riporta il quadro di sintesi del modello di caratterizzazione geotecnica ricavato per l'area. Le unità, così come individuate su base stratigrafica assumono rilevanza anche per la modellazione geotecnica del sito.

Questi pertanto i parametri attribuiti alle UNITA' caratteristiche individuate in Tavola 2.

UNITA' R - Materiale di Riporto e rimaneggiamento antropico: blocchi calcarei (10÷30 cm) con ghiaia in matrice sabbiosa o ghiaie in matrice sabbiosa; localmente possono rinvenirsi tracce di resti di laterizi e altro. Dalla documentazione fotografica delle trincee esplorative, il materiale di riporto risulta essere stato steso con un criterio geotecnico non uniforme di selezione e compattazione, ma trattandosi in genere di terreno arido granulare presenta mediamente discrete/buone caratteristiche geotecniche

peso di volume $\gamma = 18.0 \div 19.0 \text{ kN/m}^3$

angolo di resistenza al taglio $\phi'_{\kappa} = 32^{\circ} \div 35^{\circ}$

coesione efficace C'_{κ} ' = 0

modulo di Young secante $E_{25} = 20.0 \div 30.0$ MPa

UNITA' A1sI - Sabbie fini a tratti debolmente limose e sabbie limose debolmente ghiaiose, poco addensate.

peso di volume $\gamma = 18.0 \div 18.5 \text{ kN/m}^3$

angolo di resistenza al taglio di picco $\phi'_{\kappa} = 29^{\circ} \div 30^{\circ}$

coesione efficace $C'_{\kappa} = 0$

modulo di Young secante $E_{25} = 7.5$ MPa

UNITA' A1gh – ghiaia poligenica media con ciottoli in matrice sabbiosa limosa da mediamente a ben addensata; sono localmente presenti intercalazioni di lenti pluridecimetriche sabbiose e sabbioso ghiaiose moderatamente addensate.

peso di volume $\gamma = 19.0 \, \text{kN/m}^3$

angolo di resistenza al taglio di picco $~~\varphi'_{\kappa}~~=35^{\circ} \div 37^{\circ}$

coesione efficace $C'_{\kappa} = 0$ Kpa modulo di Young secante $E_{25} = 40$ MPa



UNITA' A2I – Limo sabbioso grigio moderatamente addensato passante a tratti a limo argilloso moderatamente consistente, localmente poco ghiaioso.

(Successione limoso sabbiosa)

peso di volume naturale $\gamma_n = 19.5 \text{ kN/m}^3$

angolo di resistenza al taglio di picco $\phi'_{\kappa} = 30^{\circ} \div 31^{\circ}$

coesione efficace $C'_{\kappa} = 0$ kPa

modulo di Young secante $E_{25} = 20.0 \div 25.0 \text{ MPa}$

(Intercalazioni limoso argillose)

peso di volume naturale $\gamma_n = 19.0 \text{ kN/m}^3$

Resistenza in condizioni non drenate

coesione non drenata $Cu_{\kappa} = 50 \div 60$ kPa

angolo di attrito non drenato $\overline{\phi_{\kappa}} = 0$

Resistenza e deformabilità in condizioni drenate

angolo di resistenza al taglio di picco $\phi'_{\kappa} = 29^{\circ}$

coesione efficace $C'_{\kappa} = 0 \div 3$ kPa modulo edometrico $M = 7.5 \div 10.0$ MPa

11. CONSIDERAZIONI GEOLOGICHE E GEOTECNICHE CONCLUSIVE

In base ai rilievi effettuati ed alle indagini di campagna visionate è stato riconosciuto che l'area individuata può essere considerata idonea dal punto di vista geologico e geotecnico alla realizzazione delle previsioni del piano attuativo per impianti produttivi del settore secondario di livello provinciale. Nell'attuale configurazione geomorfologica per il sito in oggetto non si osservano significativi processi morfogenetici in atto. La superficie topografica naturale è piuttosto regolare e digrada verso sud con pendenze ridottissime, mostrando le tracce delle attività antropiche che hanno portato a riempimenti e rimaneggiamenti diversi, che si sono sviluppati per lo più nella porzione settentrionale del sito, e che localmente hanno determinato anche problematiche di compromissione ambientale (Ambito B), ma che risultano geomorfologicamente stabili. L'area nel suo complesso può essere quindi considerata geomorfologicamente stabile, in assenza ed in presenza delle opere previste dal piano attuativo. L'area non rientra inoltre tra i siti interessati da problematiche di subsidenza come confermato dall'analisi dei dati satellitari interferometrici ERS.

Dal punto di vista sismico le aree epicentrali che storicamente hanno dato luogo agli eventi di maggiore intensità nell'area di Rovereto/Mori (picchi di intensità I_o 6 MCS) si trovano ad *Alpago* (BL), Val d'Illasi (VR), Val Lagarina, Friuli, Garda settentrionale, Prealpi Vicentine. In particolare l'epicentro del sisma del 1968 in Val Lagarina è risultato essere molto vicino all'area di studio come evidenziato dall'estratto di figura 14. Sulla base dei dati storici disponibili appare pertanto che il VI-VII grado di MCS può essere considerato come il grado di danneggiamento massimo storicamente registrato nell'area di studio.

L'area di insediamento oggetto del piano attuativo non interesserà inoltre zone di salvaguardia di sorgenti o pozzi o di altro vincolo idrogeologico. L'acquifero a falda libera, rispetto alle quote dei piani finiti di progetto, manterrà mediamente una soggiacenza tra i 4÷8 m; è ammessa, in alternativa al recapito al collettore di rete, la dispersione delle acque bianche nel primo sottosuolo insaturo, possibilmente dalle sole coperture, con esclusione delle acque provenienti da piazzali, parcheggi, aree di stoccaggio e lavoro per le quale prima del conferimento nel collettore di scarico in acque superficiali sarà da prevedere un trattamento delle acque di prima pioggia da avviare ad apposite vasche di raccolta a perfetta tenuta, dimensionate in modo da trattenere complessivamente non meno di 50 m³ per ettaro di superficie scolante.

La superficie complessiva dell'area pari a poco più di 260.000 m² prevede circa 66.750 m² a verde; nei confronti della regimazione delle acque meteoriche per i restanti poco meno di 200.000 m² adibiti ad aree produttive, servizi e parcheggi, considerata la precedente destinazione a verde agricolo, sarà opportuno applicare un principio di invarianza idraulica che, nei confronti di una pioggia oraria con tempo di ritorno T_R 50 anni, garantisca attraverso la laminazione un coefficiente di deflusso equivalente $\Phi = 0.2 \div 0.25$.



Infine i volumi e le altezze massime di edificazione previste dal piano risultano compatibili con le caratteristiche geotecniche dei terreni di fondazione. Si rileva in particolare come il materiale di riporto, ove presente, risulti essere stato steso con un criterio geotecnico non uniforme in quanto a selezione e compattazione, ma trattandosi in genere di terreno arido discrete/buone caratteristiche granulare presenti mediamente geotecniche. approfondimenti geotecnici nella fase di progettazione delle opere edili dovranno in ogni caso valutare puntualmente le caratteristiche di compattazione dei riporti esistenti; in caso di carichi concentrati significativi, considerata la presenza superficiale mediamente per 1.5÷4 m dall'originario p.c. di terreni soffici (Unità A1sl), si potrà valutare di allogare mediante scavo le fondazioni direttamente al tetto della sottostante Unità A1gh ghiaioso sabbiosa o di ricorrere a fondazioni indirette su pali (tipo CFA, CAP o micropali) o mediante interventi di miglioramento/consolidamento corticale (jet grouitng, vibro sostituzione con colonne di ghiaia), tenendo presente che nel corpo di riporto esistente possono essere presenti blocchi di dimensioni anche superiori a 30 cm.

Il presente documento costituisce la fattibilità geologica e geotecnica su grande area del piano attuativo. I singoli progetti di completamento delle diverse aree produttive e di servizio dovranno successivamente prevedere specifiche indagini puntuali di caratterizzazione stratigrafica e geotecnica e le relative relazioni specialistiche geologica e geotecnica in ottemperanza alle NTC 2018 ed alle norme urbanistiche vigenti.

Mezzocorona, maggio 2018